北水 試研報 Sci. Rep. Hokkaido Fish. Res. Inst. CODEN: HSSKAJ ISSN: 2185-3290

北海道水產試験場研究報告

第 103 号

SCIENTIFIC REPORTS OF HOKKAIDO FISHERIES RESEARCH INSTITUTES No.103

北海道立総合研究機構水産研究本部 北海道余市町 2023年3月

Hokkaido Research Organization Fisheries Research Department

Yoichi, Hokkaido, Japan

March, 2023

北海道立総合研究機構水産研究本部は次の機関をもって構成されており、北海道水産試験場研究報告は、 これらの機関における研究業績を登載したものです。

Fisheries Research Department of the Hokkaido Research Organization will now comprise the following seven local Fisheries Research Institutes. The study achievements of these institutes will be published in the "Scientific reports of Hokkaido Fisheries Research Institutes".

地方独立行政法人 北海道立総合研究機構 水産研究本部

(Local Independent Administrative Agency Hokkaido Research Organization Fisheries Research Department)

中央水産試験場 046-8555

(Central Fisheries Research Institute) 余市郡余市町浜中町238

(Hamanaka-cho, Yoichi, Hokkaido 046-8555, Japan)

函館水産試験場 040-0051

(Hakodate Fisheries Research Institute) 函館市弁天町20-5

函館市国際水産・海洋総合研究センター内

(Benten-cho, Hakodate, Hokkaido 040-0051, Japan)

釧路水産試験場 085-0027

(Kushiro Fisheries Research Institute) 釧路市仲浜町4-25

(Nakahama-cho, Kushiro, Hokkaido 085-0027, Japan)

網走水産試験場 099-3119

(Abashiri Fisheries Research Institute) 網走市鱒浦1-1-1

(Masuura, Abashiri, Hokkaido 099-3119, Japan)

稚内水産試験場 097-0001

(Wakkanai Fisheries Research Institute) 稚内市末広4-5-15

(Suehiro, Wakkanai, Hokkaido 097–0001, Japan)

栽培水産試験場 051-0013

(Mariculture Fisheries Research Institute) 室蘭市舟見町1-156-3

(Funami-cho, Muroran, Hokkaido 051-0013, Japan)

さけます・内水面水産試験場 061-1433

(Salmon and Freshwater Fisheries 恵庭市北柏木町3-373

Research Institute) (Kitakashiwagi-cho, Eniwa, Hokkaido 061-1433, Japan)

北海道水産試験場研究報告

第103号

目 次

浅見大樹 網走湖における動物プランクトン優占種の出現状況	1
浅見大樹 網走湖における甲殻類プランクトン3種の鉛直分布	9
板谷和彦, 辻 浩司, 成田正直, 蛯谷幸司 後志地区で漁獲されるホッケの脂質含量の季節変化および魚体長や肥満度との関係	19

SCIENTIFIC REPORTS

OF

HOKKAIDO FISHERIES RESEARCH INSTITUTES

No.103

CONTENTS

Hiroki ASAMI	
Occurrence of dominant zooplankton in a brackish lake, Lake Abashiri, eastern Hokkaido in 2017·····	1
Hiroki ASAMI	
Vertical distributions of three dominant crustacean plankton in a brackish lake, Lake Abashiri,	
eastern Hokkaido, in 2017·····	9
Kazuhiko ITAYA, Kohji TSUJI, Masanao NARITA and Kohji EBITANI	
Seasonal changes in lipid content of arabesque greenling (Pleurogrammus azonus) captured in	
Shiribeshi area and their relationship with the body length and condition factors ······	19

網走湖における動物プランクトン優占種の出現状況

浅見大樹*

北海道立総合研究機構さけます・内水面水産試験場

Occurrence of dominant zooplankton in a brackish lake, Lake Abashiri, eastern Hokkaido in 2017

HIROKI ASAMI*

Salmon and Freshwater Fisheries Research Institute, Hokkaido Research Organization, Eniwa, Hokkaido 061-1433, Japan

Zooplankton investigations were conducted in a brackish lake, Lake Abashiri from May to November 2017. Two stations were established at the shore (St. 8) and central (St. 9) area. Total abundances of zooplankton fluctuated from 0.6 to 4.1×10^5 inds./m³ at St. 8 and, from 0.7 to 8.3×10^5 inds./m³ at St. 9. The abundance of zooplankton communities such as Rotifera, Cladocera, and Copepoda reached maximum in June at both the stations and Rotifera being the dominant taxon. Cladocera dominated only in summer. The dominant species throughout the investigations were fresh-water *Brachionus* spp., *Keratella quadrata*, *Filinia longiseta*, and brackish water *K. cruciformis* in Rotifera; fresh-water *Bosmina longirostris* and *Diaphanosoma brachyurum* in Cladocera; and brackish water *Sinocalanus tenellus* in Copepoda. In particular, the dominance of *Brachionus* spp. and *B. longirostris* was characteristic of previous reports prepared in the middle of 1990s. These results might be due to the low-salinity environments in 2017.

キーワード:網走湖、低塩分、動物プランクトン、優占種

網走湖は周囲長43 km, 面積32 km², 平均水深6.8 m, 最大水深16.5 mのオホーツク海沿岸域に点在する海跡湖の一つである。網走湖の北東には、全長7 kmの流出河川である網走川があり, オホーツク海と繋がっている。網走湖はヤマトシジミ(Corbicula japonica), ワカサギ(Hypomesus nipponensis), シラウオ(Salangichthys microdon)などの水産資源が豊富で, 北海道はもちろん,全国のなかでも重要な内水面漁業の生産の場として著名な湖沼である。特に, 網走湖産ワカサギから得られる種卵は全国各地の湖沼や人工湖に供給されており, 種卵供給湖沼として大きな役割を担っている。

網走湖は大正末期までは淡水湖であったが,地形の変化により海水が網走川を通じて湖内に逆流することにより,湖の底層には徐々に海水が滞留してきた(中尾1984)。このため,表層水と底層水の混合が起こりにくくなり,極めて強固な密度躍層が周年発達し,網走湖はこの密度躍層以浅のみが循環する部分循環湖である(大槻

・多田1983)。表層水は上流域から流入する栄養塩類や強風時には底層水からも栄養塩類が供給されることにより、典型的な冨栄養状態となっている(三上2000)。一方、底層水は貧酸素状態にあり、生物に有害な硫化水素を多量に含んでいるため、その容積の変化が漁場環境に大きな影響を及ぼしている。表層と底層の境界を塩淡境界層と呼び、塩淡境界層は2003~2005年には海水の侵入が多くなる冬季に深度2~3 mまで上昇するようになった。このため、国土交通省は、底層水が表層へと湧き上がる青潮の発生を抑制するために、堰によって海水の侵入を防ぎ、塩淡境界層の深度を6~7 mに維持する目的で、2013年3月に網走川に可動堰を建設した。この結果、塩淡境界層の上昇は人為的に抑制されるようになった。

本研究で対象とする網走湖の動物プランクトンはワカサギやシラウオなどの餌生物として重要であるため、これまで多くの報告があり(例えば、元田・石田1948、1949、1950、石田1951、1952、 黒萩1970、 浅見1997、2004など)、 三

上(2000)により環境の変遷と動物プランクトンの出現の変化についてレビューされている。一般に、湖沼の動物プランクトンの出現状況は環境変化によって大きく影響を受けるが(花里2000,築地ら2004),本湖沼における動物プランクトンの調査研究は1990年代の半ばを最後に見当たらない。著者は2017年に西網走漁業協同組合の協力の下、網走湖の動物プランクトンを調査する機会を得た。本研究は、近年の網走湖において、動物プランクトンの種組成や出現量などの季節変化を明らかにするものである。そして、優占して出現した動物プランクトンを過去の知見と比較し、その変化に関与する環境要因を考察することを目的とした。

材料と方法

調査は網走湖の湖岸(St. 8, 水深約4.5 m)および湖央(St. 9, 水深約16.5 m)の2定点において、2017年5~11月までの間に月1回の頻度で合計7回行った(Fig. 1)。定点名は鳥澤(1999)に従い、網走水試が1981年から現在まで用いているワカサギ資源調査の定点名とした。プランクトンの採集には濾水計を装着した口径30 cm, 側長120 cm, 網目幅0.1 mmのプランクトンネットを用いて、St. 8では水深4 mから、St. 9では水深8 mからの鉛直曳きを行って採集した。標本は採集後、船上で直ちに、標本容積の約2%に相当するホルマリン原液を注入して固定した。プランクトンの採集時にはCTD(JFEアドバンテックASTD102)により水温、塩分および溶存酸素量を観測した。観測は両地点ともに表面から底層までとしたが、St. 8では観測日によって底層での観測深度が異なった。St. 9

では取得したCTDデータの内, 塩淡境界層以浅の0~8 m までの観測値を用いた。

動物プランクトンの標本は実験室に持ち帰った後,24時間静置後,目盛り付きメスシリンダーに移し,これから1/10の比率で標本を採取し,プランクトン計数板に収容して,実体顕微鏡および生物顕微鏡で可能な限り種別に計数した。動物プランクトン群集での優占種を各採集日毎の出現種数および各種の出現個体数(個体/m³)を総和し,下式から算出した1種当たりの出現個体数(平均値)より高い値を示した種として定義した(細川ら1968)。

なお、本研究ではカイアシ類のキクロプス目については、 $Paracyclopina\ nana$ の成体および $Ergasilus\ sp.$ の他は一括してキクロプス目コペポダイト (cyclopoid copepodites) として計数した。また、Jープリウスについては、カイアシ類のカラヌス目に属する $Sinocalanus\ tenellus\$ のみ区別して計数したが、その他のJープリウスは一括した。

結 果

水理環境 Fig. 2に, 2017年5月から11月までの湖岸部定点St. 8と湖央部定点St. 9の水温, 塩分, 溶存酸素量について示した(ただし, St.8の6月には溶存酸素量は欠測)。St. 8の水温は各月ともに表面から底層に向かい緩やかに減少した。表面水温は、5月に13.0 ℃であったが、その後徐々に上昇し、7月には21.8 ℃と20 ℃を超え、8月には22.8 ℃と最高水温に達した。その後は9月までに徐々に

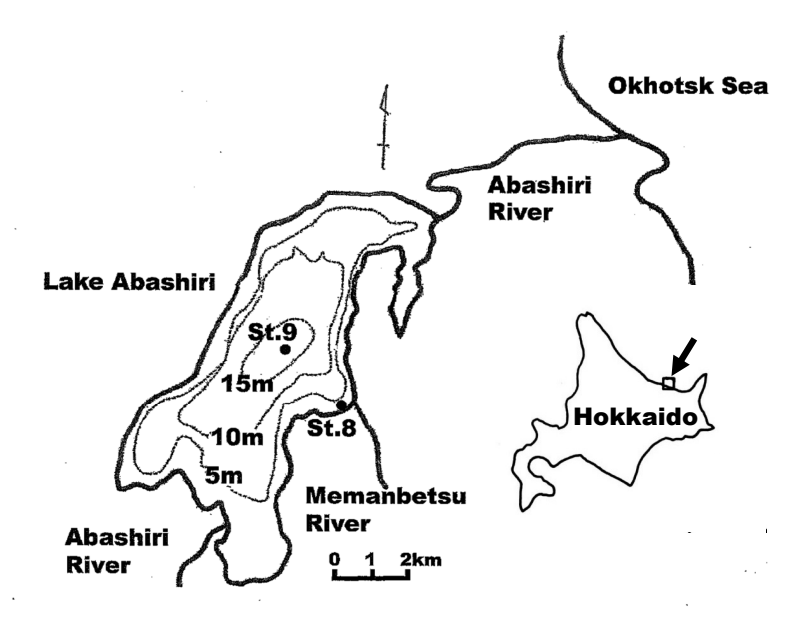


Fig. 1 Lake Abashiri and sampling stations

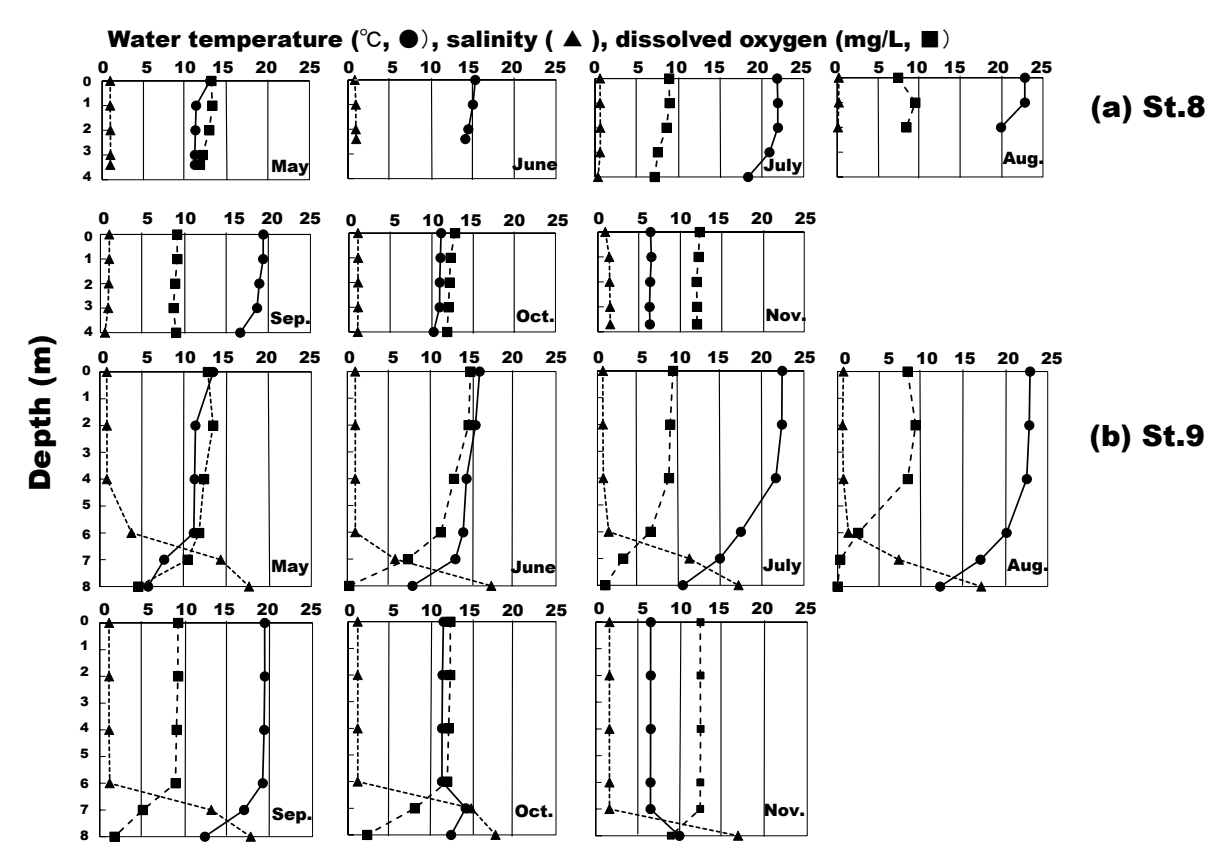


Fig. 2 Vertical profiles of water temperature (°C), salinity and dissolved oxygen (mg/L) at St. 8 and St. 9 from May to November in 2017

下降し19.4 \mathbb{C} となった。水温は10月以降は急激に下降して11月には全層で6.3~6.5 \mathbb{C} となった。塩分は各月ともに鉛直的に均一な値を示した。塩分は5月には全層で1.0であったが、その後8月までは1.0以下で推移した。9月には再び0~2 mで1.1まで増加し、それ以降11月の表面を除き再び1.0以上となった。溶存酸素量も表面から底層までほぼ均一な値を示した。溶存酸素量は8月の7.4~9.5 mg/Lから5月の11.8~13.3 mg/Lまで変動し、明らかな低酸素状態は認められなかった。

St. 9での水温は各月ともに表面から水深7 mまで緩やかに下降したが、6~8 mにかけて急激に変化する傾向が認められた。表面水温は、調査期間を通じて、11月の6.5 $\mathbb C$ から8月の22.9 $\mathbb C$ まで変動した。5月には13.4 $\mathbb C$ だったが、それ以降昇温し、8月には22.9 $\mathbb C$ と最高水温に達した。9月には19.4 $\mathbb C$ となり11月までには急激に下降し6.5 $\mathbb C$ となった。St. 9での塩分は11月を除いて、表面から6 mまでほぼ均一だったが、7 m以深では急激に増加した。11月には7 m以深で塩分は急激に増加した。塩分が概ね均一な層では5月から6月には1.0の塩分であったが、7月から8月には1.0以下となった。しかし、9月以降再び1.0以上となり、11月には1.6と年最高の値を示した。溶存酸素量は各月ともに表面から緩やかに減少し、6 mから8 mにかけて急激

に減少した。

動物プランクトン総個体数密度および分類群組成 すべ ての分類群を対象に求めた動物プランクトンの総個体数 密度はSt. 8では0.6~4.1×105個体/m3(平均2.2×105個体 /m³), St. 9では0.7~8.3個体×10⁵個体/m³(平均3.2×10⁵ 個体/m³) まで変動した (Fig.3)。両地点ともに, 動物プ ランクトン総個体数密度は5月に最も少なく,6月に最大 となり、その後減少するものの9月に再び増加した。両地 点ともに動物プランクトンは、輪虫類、枝角類およびカ イアシ類の3分類群で構成されていた。St. 8では調査期間 を通じて輪虫類の個体数組成はほぼ50%以上を占めた(5 月の45.8%~6月の77.8%)。枝角類は7~11月にかけて出 現し、7月には12.4%、8月には20.6%、9月には16.0%を占 めた。しかし、10月には1.7%まで減少し、11月には0.6%を 占めるに過ぎなかった。カイアシ類は周年を通して18.5 ~54.1%を占め、5月と11月にその組成率は増加した。St. 9 では、8月を除き輪虫類が約60%以上を占めた。その中で も6月は86.6%、11月は85.9%を占めるまでに至った。枝角 類はSt.8と同様に7~11月にかけて出現し, 特に8月には動 物プランクトン群集中で58.9%を占める第1優占群とな った。しかし、その後はその組成比は急激に減少し11月に は全体の0.7%まで減少した。カイアシ類は周年を通して、

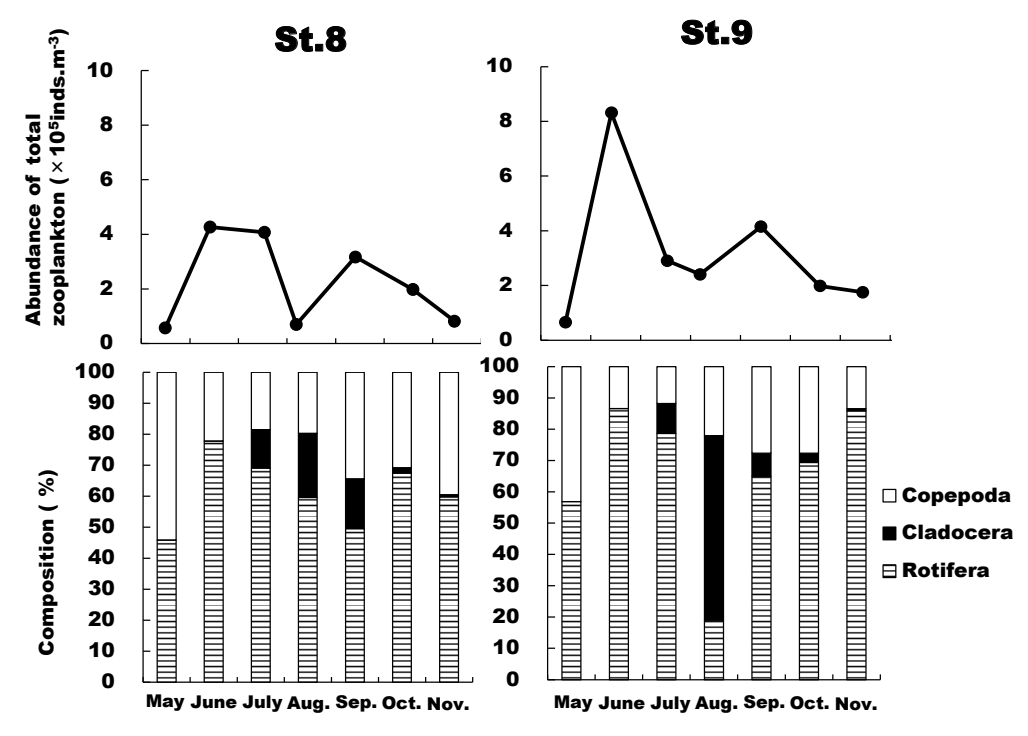


Fig.3 Seasonal changes in abundance of total zooplankton (upper) and numerical taxonomic composition (lower) at St. 8 and St. 9 from May to November 2017

Table 1 List of species at St. 8 and St. 9 from May to November in 2017 Closed circles (●) indicate the dominant species.

	St.8		St.9
Habitat	Species	Habitat	Species
Rotifera		Rotifera	
		F	Rotaria neptunia
●F	Brachionus angularis	●F	Brachionus angularis
●F	Brachionus calyciflorus	●F	Brachionus calyciflorus
=	Brachionus quadridentatus	F	Brachionus quadridentatus
=	Brachionus urceolaris	F	Brachionus urceolaris
=	Keratella cochlearis	F	Keratella cochlearis
●В	Keratella cruciformis	В	Keratella cruciformis
●F	Keratella quadrata	●F	Keratella quadrata
F	Notholca aquminata	F	Notholca aquminata
=	Lapadella sp.	F	Lapadella sp.
=	Asplanchna sp.	F	Asplanchna sp.
=	Synchaeta spp.	F	Synchaeta spp.
●F	Filinia longiserta	●F	Filinia longiserta
Cladocer	a	Cladocer	ra
●F	Bosmina longirosrtis	●F	Bosmina longirosrtis
₽F	Diaphanosoma brachyurum	●F	Diaphanosoma brachyurum
Copepoda	a	Copepod	а
•	Sinocalanus tenellus	●B .	Sinocalanus tenellus
3	Pseudodiaptomus inopinus	В	Pseudodiaptomus inopinus
=	<i>Ergasilus</i> sp.	F	
3	Paracyclopina nana	В	Paracyclopina nana
JN	cyclopoid copepodite	UN	cyclopoid copepodite
JN	Ectinosomatidae	UN	Ectinosomatidae
JN	other copepod nauplii	UN	other copepod nauplii

F: Fresh water species

B: Brackish water species

UN: Unknown

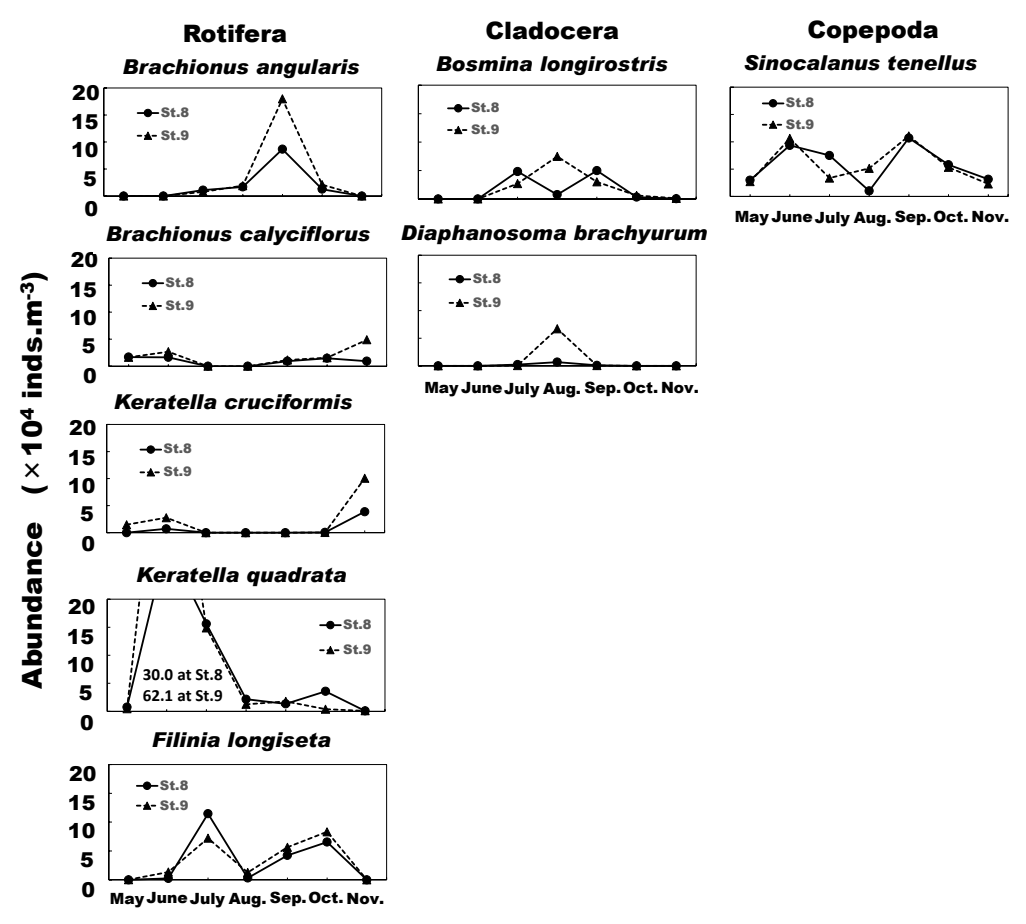


Fig. 4 Seasonal changes in abundance of eight dominant species at St. 8 and St. 9 from May to November 2017

11.8%~43.1%まで変動し、その組成比は5月に最大となった。周年を通して各分類群の組成率の平均は、St. 8では輪虫類61.3%、枝角類7.3%、カイアシ類31.3%、St. 9では輪虫類65.9%、枝角類11.4%、カイアシ類22.7%であった。両地点ともに、動物プランクトンは輪虫類が約60%を超え最も優占する傾向があった。また、枝角類は夏季の一時期に優占動物プランクトンに加わり、カイアシ類の組成率は輪虫類と枝角類の組成率に影響を受けて変動した。

動物プランクトン出現種および優占種 Table 1に,本調査で出現した種を未同定種も含めて示した。出現した種は輪虫類が最も多く13種,枝角類2種,そしてカイアシ類はSinocalanus tenellus, Pseudodiaptomus inopinus, Paracyclopina nanaの他, Ergasilus sp. キクロプス目カイアシ類とノープリウス,ハルパクチコイダ目のEctinosomatidaeを含み7分類群に分類された。両地点ともに出現した種はほぼ同様であり,異なったのはSt. 9で輪虫類のRotaria neptuniaが出現したがSt. 8では出現しなかったことだけであった。出現した種の内,輪虫類のK. cruciformis,カイアシ類のS. tenellus, P. inopinus, P. nana,以外はほとんどが淡水性種であった(山路1982,水野

1993, 水野・高橋 2000, 長澤ら 2007)。

Keratella cruciformis, K. quadrata, Filinia longisetaの5種, 枝 角類のBosmina longirostris, Diaphanosoma brachyurumの2 種. そしてカイアシ類のSinocalanus tenellus であった (Table 1)。このうち、輪虫類のKeratella cruciformisとカ イアシ類のSinocalanus tenellusの2種は汽水性種である。 優占種の個体数密度の季節変化 Fig.4にはこれら優占 種各種の個体数密度の季節変化を示した。輪虫類は5月に は密度は低かったが両地点でB.calyciflorusが1.7×10⁴個 体/m³の密度で出現した。St. 9ではK.cruciformisが1.5×10⁴ 個体/m³, 6月には2.8×104個体/m³の密度で出現した。 K.quadrataは6月にSt. 8で30.0×10⁴ 個体/m³, St. 9で62.1× 10⁴個体/m³の最大密度で急激に増加した。この高密度は 7月まで続いた。さらに7月にはF.longisetaが増加しSt. 8で 11.5×10⁴ 個体/m³, St. 9で7.2×10⁴ 個体/m³となった。輪 虫類の個体数密度は両地点で8月にはどの種も著しく減 少した。しかし、9月にはB.angularisが両地点で急激に増 加し、その密度はSt. 8で8.7×10⁴個体/m³, St. 9で18.0×10⁴ 個体/m³となった。さらに、B.angularisに加えてF.longiseta

周年を通して、優占種として以下の8種が挙げられた。

すなわち、輪虫類のBrachionus angularis, B.calyciflorus,

も再び増加した。F.longisetaの増加は10月まで続きその密 度はSt. 8で6.5×10⁴ 個体/m³, St. 9で8.5×10⁴ 個体/m³とな った。11月には5月に出現したB.calyciflorusとK. cruciformisの2種が特にSt.9で増加した。枝角類は主に夏季の7~ 9月にかけて個体数が増加した。B.longirostrisはSt. 8で7月 と9月にそれぞれ、4.8×10⁴個体/m³および5.0×10⁴個体/ m³となった。St.9では8月に7.5×10⁴個体/m³と明瞭なピー クをつくった。D.brachyurumは8月にSt. 9で明瞭なピーク を作り、その密度は6.7×10⁴個体/m³となった。優占種8種 の中でカイアシ類のS.tenellusは周年を通して、ほぼ1.0× 10⁴ 個体/m³以上の密度で出現し常に動物プランクトン 群集の中で卓越する種であった。その季節変化は両地点 共に同様であり6月と9月にピークが観察され、6月には St. 8で9.4×10⁴ 個体/m³, St. 9で10.6×10⁴ 個体/m³, 9月に はSt. 8で10.7×10⁴ 個体/m³、St.9で11.1×10⁴ 個体/m³に達 した。

考察

網走湖の水温と塩分はSt. 8では4 m以浅, St. 9では6 m 以浅ではほぼ一様であり, 両地点ともに大きな違いはな く, 水平的にほぼ均一な水温と塩分の構造がうかがえる。 一方, 鉛直的にはSt.9では水深6 mから塩分は急激に上昇 し, 6~7 m, あるいは7~8 mに顕著な塩分躍層が観測さ れた。溶存酸素量も6 m以深で急激に減少した。Fig.5に 1994~1996年および比較のために, 2017年の5~11月まで の4ヵ年にわたる網走湖における湖心部での表面水温と 表面塩分の季節変化を示した(資料は浅見1997, 2004)。 2017年の水温は6.5~22.9℃,塩分は0.6~1.6であり,これ は水温3.1~22.7℃および塩分0.8~1.4であった1996年と

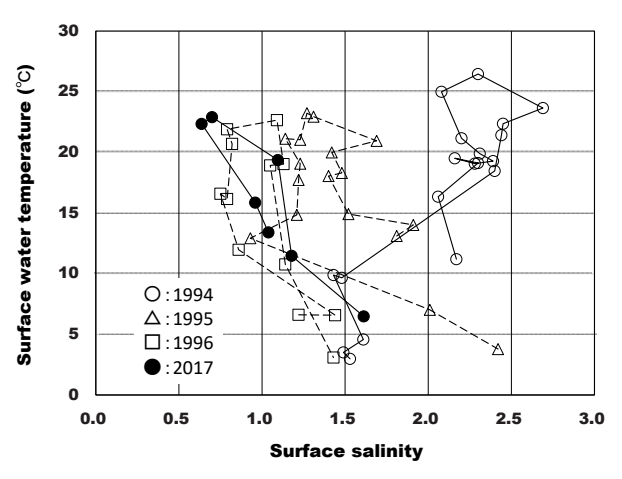


Fig. 5 Seasonal changes of surface water temperature and salinity at St. 9 from May to November between 1994 and 1996. Data collected in 2017 were imposed in figure

類似したものだった。2017年の塩淡境界層は $5\sim10$ 月は6 ~7 m, 11月は $7\sim8$ mの間であった。1994年と1995年は5 ~6 m, 1996年は $5\sim8$ 月は $5\sim6$ m, 9月以降は $6\sim7$ mにあった(浅見2004)。このように、2017年の水理環境は低塩分かつ塩淡境界層の低下という特徴があり、これは前述のように網走川に設置された可動堰により塩分環境が抑制されている結果と見ることができる。

三上(2000)は過去に実施された網走湖における動物プランクトンの調査研究結果をもとに網走湖の動物プランクトンの優占種に関する研究報告をレビューしている。ここでは、三上(2000)の報告に加えて、さらに詳しく優占種と塩分環境との関係について検討した。ただし、過去の文献では塩分を塩素イオン濃度で記述しているものもあったので、これらは以下により塩分値に換算した(「汽水域の科学」講師グループ 2001)。すなわち、

S=1.80655×Cl×0.001 (Sは塩分、Clは塩素イオン濃度 (mg/L))

汽水性カイアシ類のSinocalanus tenellusは1938年の調 査で既にその出現が確認されている(Hada 1940)。S. tenellusの優占は2017年にも観察された。本種の出現は少 なくとも1938年から現在まで継続している。本種はワカ サギの重要な餌生物であることから(浅見2004),今後も 本種の出現状況には注視していくことは重要である。S. tenellusが動物プランクトン群集中で卓越することは汽 水湖の宍道湖でも知られ(山根ら1988,上1997,中村 1998), その最高出現密度は本研究と同等の105個体/m3 のレベルに達する (上 1997)。1986年から1996年までの 宍道湖の表面の平均塩分は3月の3.8から12月の8.9. 年平 均は6.1である(中村1998)。益子(1954)によれば、本 種は一般には塩素量500~5000 mg/L (塩分に換算して0.9 -9.0) の水域に普通に出現し, 時にこれ以上或いはこれ 以下にも多数観察されることもあるという。網走湖の塩 分は宍道湖のそれよりも低いが, その最高出現密度は宍 道湖のレベルに匹敵することから、低塩分でもS.tenellus は充分に出現できると考えられる。

輪虫類や枝角類については、黒萩(1970)が報告しているように、1964年3月~1965年7月までの調査によれば、表面の塩分が1.1~1.2であった1964年には、汽水性の輪虫であるK. cruciformisが豊富に出現していたが、塩分が0.1~1.0まで低下した1965年にはK. cruciformisは減少し、替わって淡水性の輪虫であるPolyarthra sp., Filinia longisetaが優勢になったことを報告している。さらに、宇藤ら(1984)によれば、1982年と1983年の2ヵ年にわたり、網走湖の最深部定点で5~11月まで月1回の頻度で動物プランクトンの調査を実施した結果、表面塩分が1.3~2.2であった1982年には淡水性の輪虫であるK. quadrataやF. longi-

seta, 淡水性枝角類のD. brachyurumなども出現していたが、表面塩分が $2.1\sim4.5$ まで上昇した1983年には、淡水性種の出現は皆無かあるいは出現したとしても極めて少なかったことを報告している。また、浅見(1997)は表面塩分が約 $1.4\sim2.7$ であった1994年と、 $0.9\sim2.4$ であった1995年には淡水性輪虫類のK. quadrataとFlongiseta が優勢であったことを観察している。このように、網走湖で優占する動物プランクトン、中でも輪虫類の優占は塩分の影響を受けていることが挙げられる。輪虫類の中でも優占して出現するK. quadrataとF. longisetaは淡水性の種類であるが、浅見(1997)が観察したように塩分が約3までは出現する一方、1983年に宇藤ら(1984)がこれら2種は出現しなかったと報告しているように、塩分が約3を超えると優占が認められなくなると考えられる。

優占した動物プランクトンについて、2017年の調査 結果と近年の報告(浅見1997, 2004および一部未発表資 料)を比較すると、2017年の調査結果で最も特徴的だっ たのは,以下の二点である。一つ目には淡水性輪虫類 Brachionus属の優占である (Table 2)。1990年代半ばの結 果では,本種は優占種として出現することがなかった。 Brachionus属は1994年7月に0.7×10³個体/m³, 1995年10月 $に0.1 \times 10^3$ 個体/ m^3 の極くわずか出現したが、より低塩分 であった1996年の6~9月まで、優占には至らなかったも のの0.1~4.0×10³個体/m³の密度で出現した(浅見未発表 資料)。さらに過去の知見について見ると、本種は塩分が 1以下であった1947年には出現の記録がある(元田・石田 1948)。さらに、表面塩分が1.1~1.2であった1964年には本 種の出現は認められなかったが、表面塩分が0.1~1.0であ った1965年には卓越までは至らなかったものの出現の記 録がある (黒萩1970)。これらのことから、Brachionus 属 の出現は低塩分時に認められることが過去の調査結果の 共通した現象であると言える。二つ目の特徴は,淡水性 枝角類Bosmina longirostrisの優占が挙げられる。本種は表 面塩分が約1.0~2.7であった1994年と1995年には全く出 現しなかったが.塩分が0.6~1.6とより低塩分だった1996 年には7~9月にかけて0.3~5.2×103個体/m3の密度で出 現が認められた (浅見1997, 2004および一部未発表資 料)。さらに過去には、元田・石田(1948)によれば、表 面塩分が1以下の低塩分であった1947年の夏季に本種の 増加を観察している。また、黒萩 (1970) は1964年のプラ ンクトン調査の結果,塩分が汽水化した1964年には,B. longirostris は消失したことを報告している。これらのこ とから、2017年のこれら2属の優占は低塩分環境による ものと考えられる。Brachionus属やBosmina longirostrisは ワカサギ仔稚魚の重要な餌生物でもある(山岸1974,堀・ 位田1977, 竹内1982, 浅見2004)。浅見(未発表)は2017年 のワカサギ稚魚の胃内容物に、時に大量のBosmina longirostrisを観察している。このことから、Bosmina longirostris の優占はワカサギにとっては良好な餌環境と考えられる。

今回得られた2017年の結果は,塩分環境の変化が動物プランクトンの優占種を変化させることを示している。今後,大きな塩分環境の変化が認められた時は,動物プランクトンの出現状況を把握することは,網走湖の環境監視の一つとして重要であろう。

謝辞

本研究を行うにあたり、調査に御協力をいただいた西 網走漁業協同組合の佐々木昇常務、川尻敏文参事、他職 員の皆様に深く感謝いたします。

引用文献

浅見大樹. 網走湖における動物プランクトンの季節変動および年変動. 北海道立水産孵化場研究報告 1997;51:31-43.

			species between		
I abic Z	Comparison	or adminiant	Species between	the present and	a pasi sidulos.

Taxa	2017	1994 ^{*1}	1995 ^{*1}	1996 ^{*2}
Rotifera	Brachionus spp. (F)	•		
	(B. angularis)			
	(B. calyciflorus)			
	Keratella cruciformis (B)	Keratella cruciformis	Keratella cruciformis	
	Keratella quadrata (F)	Keratella quadrata	Keratella quadrata	Keratella quadrata
	Filinia longiseta (F)	Filinia longiseta	Filinia longiseta	Filinia longiseta
Cladocera	Diaphanosoma brachyurum (F)	Diaphanosoma brachyurum		
	Bosmina longirostris (F)			
Copepoda	Sinocalanus tenellus (B)	Sinocalanus tenellus	Sinocalanus tenellus	Sinocalanus tenellus

^{*1;} Asami (1997)

^{*2;} Asami (2004), unpublished data

F: Fresh water species

B: Brackish water species

- 浅見大樹. 網走湖産ワカサギの初期生活に関する生態学的研究. 北海道立水産試験場研究報告 2004;67:1-79.
- 築地由貴, 植田真司, 近藤邦男, 清家泰, 三田村緒佐武. 青森県汽水湖尾駮沼における動物プランクトンの出現特性. 陸水学雑誌 2004;65:215-223.
- Hada Y. Hydrographical observations and plankton studies of some brackish water lakes on the Okhotsk Sea coast of Hokkaido in winter. *Trans. Sapporo. Nat. Hist. Soc.* 1940; 16: 147–174.
- 花里孝幸. 特集: 地球温暖化と陸水環境 総説 地球温暖化と湖のプランクトン群集. 陸水学雑誌 2000: 61:65-77
- 堀直, 位田俊臣. ワカサギの人口種苗生産技術の開発に 関する研究-I 仔魚が摂餌可能な餌の大きさなどに ついて. 茨城県内水面水産試験場調査研究報告 1977;14:11-19.
- 細川隆英, 加藤陸奥雄, 北沢右三, 野村健一, 田口亮平, 鳥居西蔵. 「新編生態学汎論」. 養賢堂, 東京. 1968.
- 石田昭夫. 湖沼甲殻類プランクトンの定量採集と水平 分布についての二三の観察. 水産孵化場試験報告 1951;6:181-190.
- 石田昭夫. 網走湖の研究 浅い湾内での甲殻類プランクトンの昼夜移動の観察. 水産孵化場報告1952;7: 127-131
- 「汽水域の科学」講師グループ. 「汽水域の科学 中海・ 宍道湖を例として」. 高安克己編. たたら書房, 米 子市. 2001.
- 黒萩尚. 網走湖におけるプランクトンの遷移. 北海道さけますふ化場研究報告 1970;24:101-124.
- 益子帰来也. 半鹹水橈脚類に関する一考察. 日本生態学会誌 1954;4:13-16.
- 三上英敏 網走湖の陸水学的特徴と長期的環境変化.「湖 沼環境の変遷と保全に向けた展望(高村典子編)」国 立環境研究所研究報告2000;153:5-33.
- 水野寿彦.「日本淡水プランクトン図鑑」. 保育社, 大阪. 1993.
- 水野寿彦・高橋永治.「日本淡水動物プランクトン検索図 説」.東海大学出版会,東京. 2000.

- 元田茂, 石田昭夫. 網走湖の研究特にプランクトン層に 就いて(第一報). 水産孵化場試験報告1948;3: 1-12.
- 元田茂, 石田昭夫. 網走湖の研究特にプランクトン層に 就いて(第二報). 水産孵化場試験報告1949;4:1-9.
- 元田茂,石田昭夫.夏季網走湖に於ける甲殻類プランクトンの昼夜垂直移動の観察.水産孵化場試験報告1950;5:105-112.
- 長澤和也, 海野徹也, 上野大輔, 大塚攻. 魚類寄生虫また はプランクトンとして出現する日本産ニセエラジラ ミ科カイアシ類の目録 (1895-2007年). 日本生物地 理学会報 2007;62;43-62,
- 中村幹雄. 宍道湖におけるヤマトシジミ Corbicula japonica Primeと環境との相互関係に関する生理生態学的 研究. 島根県水産試験場研究報告1998; 9:1-192.
- 中尾欽四郎. 網走湖の湖環境変遷. 北海道の自然 1984;24:30-40.
- 大槻知寛, 多田匡秀. 網走湖の環境について. 北水試だより1984;23:1-8.
- 竹内勝巳, 沖野外輝夫. 諏訪湖におけるワカサギ (Hypomesus transpacificus f. nipponensis) の成長と食 性. 環境科学の諸断面-三井教授還暦記念論文集-土木工学社1982; 17-22.
- 鳥澤雅. 網走湖産ワカサギの生活史多型分岐と資源変動機構. 北海道立水産試験場研究報告 1999;56:1-117.
- 宇藤均, 小林喬, 坂崎繁樹, 黒萩尚. 網走湖産ワカサギ生 態調査. 網走水試昭和58年度事業報告書1984; 144-
- 上真一. 汽水域における動物プランクトンの特徴. 沿岸 海洋研究1997;35:49-55.
- 山岸宏. 諏訪湖におけるワカサギ稚魚の生態について付. 諏訪湖の富栄養化の進行とワカサギ漁獲量の関係. 日本生態学会誌1974; 24:10-21.
- 山路勇.「日本海洋プランクトン図鑑.増補改訂版」.保育 社,大阪. 1982.
- 山根恭道,後藤悦郎,川島隆寿,鈴木博也,小川絹代.中海 ・宍道湖漁場環境基礎調査定期観測調査について. 昭和61年度島根県水産試験場事業報告1988;207-222

網走湖における甲殻類プランクトン3種の鉛直分布

浅見大樹*

北海道立総合研究機構さけます・内水面水産試験場

Vertical distributions of three dominant crustacean plankton in a brackish lake, Lake Abashiri, eastern Hokkaido, in 2017

HIROKI ASAMI*

Salmon and Freshwater Fisheries Research Institute, Hokkaido Research Organization, *Eniwa, Hokkaido 061–1433, Japan*

The vertical distributions of crustacean plankton, namely, two cladocerans of *Bosmina longirostris* and *Diaphanosoma brachyurum*, and one copepod, *Sinocalanus tenellus*, were investigated at a central station in a brackish lake, Lake Abashiri, from June to November 2017. Zooplankton samples were spaced 2 m apart from 0 to 6 m distance, and another at 7 m using Van Dorn bottle. The boundary layers between fresh and salt-water were observed at 6 - 8 m depth from the salinity profiles throughout the investigations. In addition, the dissolved oxygen decreased sharply in these boundary layers. The individual densities of *B. longirostris* and *D. brachyurum* increased from mid-July to early August, and dense distributions of these species were observed in the boundary layer. At the same time, large number of *S. tenellus* adults was simultaneously concentrated at this boundary. The factors of this vertical distribution in relation to the boundary layer in summer were thought to be the light environment and avoidance of feeding by smelt juveniles.

キーワード:網走湖、鉛直分布、塩淡境界層、甲殻類プランクトン

網走湖はヤマトシジミ(Corbicula japonica), ワカサギ (Hypomesus nipponensis), シラウオ(Salangichtys microdon)などの水産資源が豊富で, 北海道はもちろん, 全国的にも重要な内水面漁業の生産の場として著名な湖沼である。特に, 網走湖産ワカサギから得られる種卵は全国各地の湖沼や人工湖に供給されており, 種卵供給基地として重要な役割を担っている。

網走湖は大正末期までは淡水湖であったが、地形の変化により海水が網走川を通じて湖内に逆流し、湖の底層には徐々に海水が滞留してきた(中尾1984)。このため、表層水と底層水の混合が起こりにくくなり、極めて強固な密度躍層が周年発達し、網走湖はこの密度躍層以浅のみが循環する部分循環湖である(大槻・多田1984)。底層水は貧酸素状態にあり、表層と底層の境界は塩淡境界層と呼ばれ、この独特な鉛直的な水塊構造が網走湖の最大の特徴である。このような特徴を持つ網走湖で、動物プ

ランクトンがどのような鉛直分布をしているかは興味を 引くところである。

多くの動物プランクトンは鉛直的に一様な分布を示すことはない(安楽1979)。また、海洋、湖沼を問わず、動物プランクトンは昼夜で分布を変える日周鉛直移動を行うことも古くから知られており、多くの研究がある(例えば元田1972の総説)。網走湖において、動物プランクトンの鉛直分布を知ることは湖沼の栄養動態を論ずる際に重要であるとの考えのもと、動物プランクトンの鉛直分布に関する一連の調査研究が1950年前後に実施されている(元田・石田1949、1950、石田1951、1952)。そして、網走湖の動物プランクトンの鉛直分布は塩淡境界層が深く関与し、この層に多く分布する傾向があることが明らかにされている。一方、1950年前後は塩淡境界層の深度は現在よりも深く、現在の網走湖の水塊構造とは異なる。このため、網走湖の動物プランクトンの鉛直分布も過去と

は異なることが充分考えられる。著者は2017年に西網走漁業協同組合の協力の下、網走湖の動物プランクトンの季節変化を調べる機会に恵まれた(浅見2023)。そして、甲殻類プランクトンとして優占して出現する3種、すなわち枝角類のBosmina longirostris, Diaphanosoma brachyurum、カイアシ類のSinocalanus tenellusを挙げた。これらの種はいずれもワカサギの餌生物として重要であることが知られている(浅見 2004)。本研究では、これらの甲殻類プランクトンの日中の鉛直分布とその要因について考察した。

材料と方法

調査は網走湖の湖央(St. 9)の一定点において2017年6 ~11月までの間に、6月には月1回、7~8月には月2回、9~ 11月までには月1回の頻度で合計8回行った(Fig.1)。 定点 名は鳥澤(1999)に従い、網走水試が1981年から現在まで 用いているワカサギ資源調査の定点名とした。採集時間 帯はどれも概ね午前中であった。プランクトンの鉛直分 布を調べるために6 L容量のバンドン採水器を用いて、各 深度から4回, 合計20 Lの湖水を採水した後, 40 μmの網目 のプランクトンネットを用いて濾過することにより甲殻 類プランクトンを採集した。 採水深度は0, 2, 4, 6, 7 mと した。標本は採集後,船上で直ちに,標本容積の約2%に 相当するホルマリン原液を注入して固定した。プランク トンの採集時にはCTD (JFEアドバンテックASTD102) に より水温、塩分および溶存酸素量を観測した。水温と塩 分は取得したデータの内. 塩淡境界層以浅の0~6 mまで の2 m間隔および7,8 mの観測値を用いた。さらに、透明

度板により透明度の観測,および0,2,4,6,7 mの各層からバンドン採水器によりクロロフィルa分析のための湖水を採水した(ただし,8月7日は欠測)。採水した湖水は、クーラーバッグに収容して実験室まで運んだ。

動物プランクトンの標本は実験室に持ち帰った後、標本全量を目盛り付きメスシリンダーに移し、これから $1/2\sim1/4$ の比率で標本を採取し、プランクトン計数板に収容して、実体顕微鏡および生物顕微鏡で種別に計数した。本研究で対象とした種は、枝角類のBosmina longirostris、Diaphanosoma brachyurum、カイアシ類のSinocalanus tenellusの3種とした。Sinocalanus tenellusについてはノープリウス、初期コペポダイト(C1-3)、後期コペポダイト(C4-5)および成体(C6)まで発育段階別に計数した。個体数は $1 \, \mathrm{m}^3$ 当たりの値に換算した。

クロロフィルa量は湖水100 mLをGFFフィルターで濾過後, 暗所に冷凍保存し, 後日, メタノールでクロロフィルaを 抽 出 し, 蛍 光 茂 計(Turner Designs, 10-AU Fluorometer) で分析した。

結 果

水理環境 Fig.2 (a)に、調査時の水温、塩分、溶存酸素量の鉛直分布の季節変化を示した。また、Fig.2 (b)にはクロロフィルa量の鉛直分布の季節変化を示した。さらに、付表1 (Appendix 1) にこれらの観測値を示した。水温は各調査日ともに表面から6あるいは7 mまで緩やかに下降したが、6~8 mあるいは7~8 mにかけて急激に変化した。表面水温は、調査期間を通じて11月15日の6.5 $\mathbb C$ から8月7日の22.9 $\mathbb C$ まで変動した。表面水温は6月29日に19.2 $\mathbb C$ と既

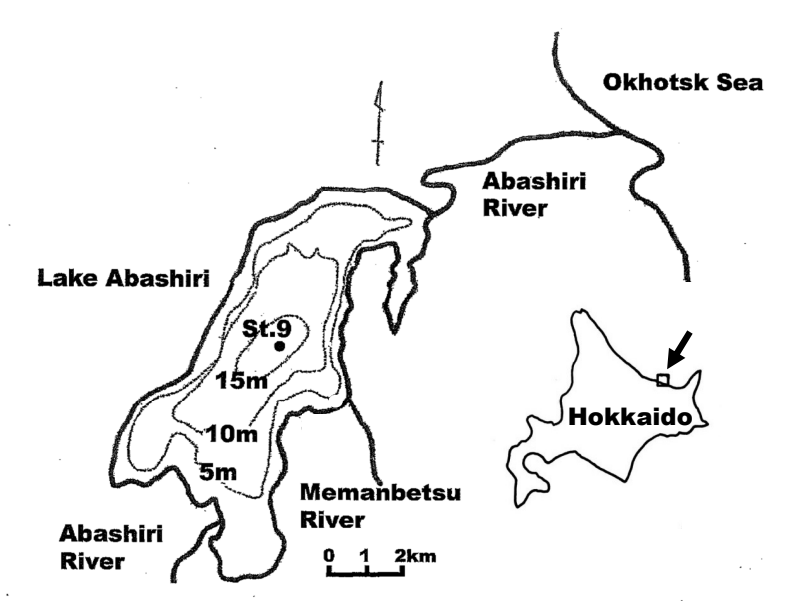


Fig. 1 Lake Abashiri and sampling station (St. 9) from June to November 2017

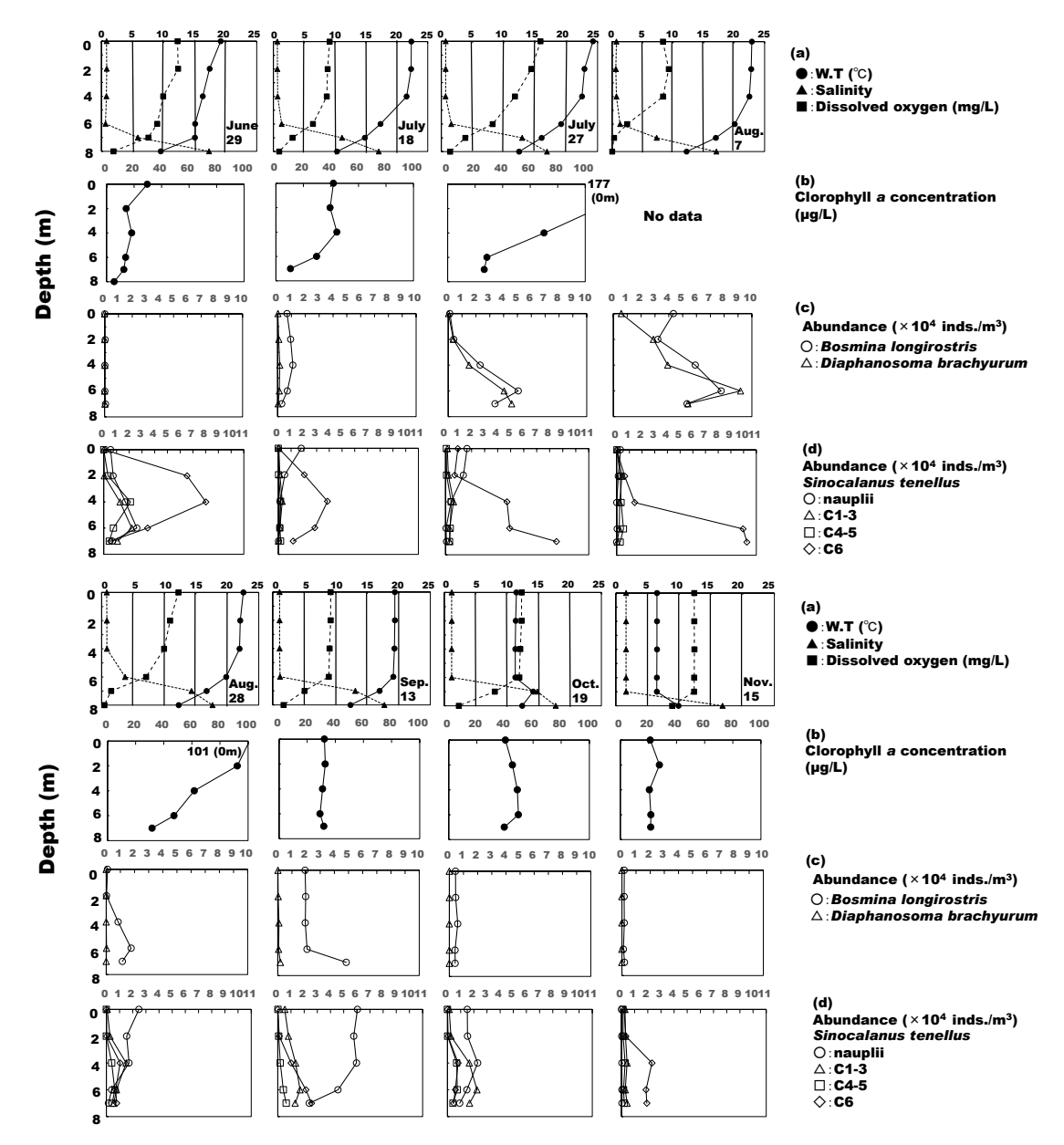


Fig. 2 Vertical profiles of (a) water temperature (°C), salinity and dissolved oxygen (mg/L), (b) chlorophyll a concentration, (c) abundances of Bosmina longirostris and Diaphanosoma brachyurum, (d) nauplii, copepodites and adults of Sinocalanus tenellus

に20℃近かった。そして、8月にかけて昇温し、8月7日には 22.9 ℃に達した。それ以降9月13日には19.4 ℃となり、11 月までには急激に下降し6.5℃となった。塩分は,11月15 日を除いて、0~6 mまでほぼ均一だったが、7 m以深では 急激に上昇した。11月15日には8 m以深で塩分は急激に上 昇した。塩分が概ね均一な層では6月下旬から8月下旬に かけてはほぼ1.0以下であった。しかし、9月以降1.0以上と なり、11月15日には1.6と年最高の値を示した。溶存酸素量 は11月を除いて各調査日ともに表面から緩やかに減少し、 6~8 mにかけて急激に減少した。11月15日には7~8 mに かけて約12 mg/Lから9 mg/Lとなった。表面の溶存酸素 量は8月7日の8.3 mg/Lから7月27日の15.9 mg/Lまで変動

した。表層 (0~4 m) の溶存酸素量は周年を通じて約8~ 16 mg/Lの範囲にあった。クロロフィルa量は9月から11月 までは鉛直的にほぼ均一であったが、それ以外の調査日 では表層から深度が深くなるにつれて減少した。表面の クロロフィルa量は11月15日の21.3 μg/Lから7月27日の 177.0 μg/Lまで変動し、クロロフィルa量は周年を通じて 高濃度であった。透明度は,7月27日と8月28日の約30 cm から6月29日と11月15日の約150 cmまで変動した (Fig.3)。透明度は7~8月の夏季に浅くなる傾向があっ た。透明度の2倍を有光層とした結果, 有光層は約0.5 mか ら3.0 mであり、夏季に浅く春季と秋季に深くなった。

甲殻類プランクトン各種の鉛直分布 Fig.2 (c) (d) に甲

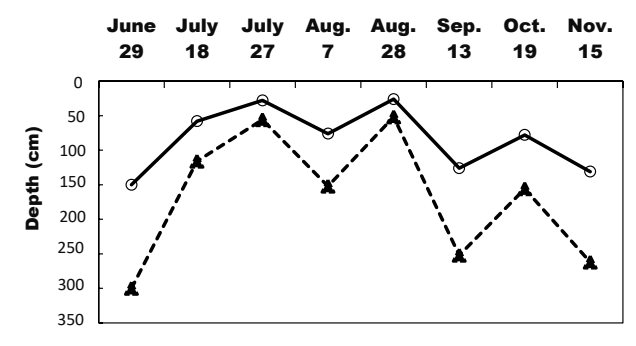


Fig.3 Seasonal changes of transparent (○) and euphotic layers (twice the transparent depth, ▲) at St. 9 from June to November 2017

殻類プランクトン各種の鉛直分布を示した。また, 付表2 と3 (Appendix 2,3) には数値を示した。6月29日,まだ 低密度だったB. longirostrisは0~7 mまで0.02~0.06×10⁴ 個体/m³, D. brachyurum は0.00~0.02×10⁴ 個体/m³と極く 低密度で一様に分布した。7月18日には、B. longirostrisは 表面の0.7×10⁴ 個体/m³から水深4 mの1.1×10⁴ 個体/m³ま で徐々に増加し, 7 mの0.3×10⁴ 個体/m³まで緩やかに減 少した。D. brachyurum はB. longirostrisよりも低密度では あるが、B. longirostrisと同様に0~4 mまで徐々に増加し、 7 mまで再び減少した。7月27日には両種ともに0 mと2 m では 1.0×10^4 個体/ m^3 以下であったが、それ以深では急激 に 増 加 し, B. longirostrisは6 mで 5.1×10^4 個 体/m³, D. brachyurumは6~7 mで4.0~4.6×10⁴ 個体/m³に達した。8 月7日には密度はさらに増加し、B. longirostrisは0~2 mで 3.2~4.3×10⁴ 個体/m³, それ以深では急激に増加し, 6 mで 7.8×10⁴ 個体/m³の最大密度に達した。さらに, 7 mでも 5.3×10⁴ 個体/m³の高密度を維持していた。D. brachyurum も同様に深度が深くなるほど増加し, 0 mで0.6×10⁴ 個体 $/m^3$, 4 mで 3.9×10^4 個体 $/m^3$, 6 mでは 9.2×10^4 個体 $/m^3$ と 急激に増加した。7 mでは若干減少するが5.4×10⁴ 個体/ m³の密度を維持した。8月28日には両種ともに密度は大 きく減少し, B. longirostrisは0~2 mまで0.02~0.09×10⁴ 個 体/m³, 4 m以深では若干増加し, 6 mで1.8×104 個体/m³と なった。D. brachyurum は大きく密度を減じ、6 mで0.02× 10^4 個体 $/m^3$ が分布したに過ぎなかった。9月13日にはB. longirostrisの密度はやや回復し、0~6 mまで約2.0×10⁴ 個 体/m³の密度で一様に分布し、水深7 mでは4.8×104 個体/ m³と増加した。D. brachyurumは依然として0~7 mまで一 様に低密度であった。10月以降は両種ともに低密度で一 様に分布した。このように, 両種ともに個体数が急激に 増加した7月27日から8月7日には、6~7 mに顕著に濃密 に分布した。これ以降D. brachyurum は個体数密度は大き く減少し, B. longirostrisは8月下旬と9月中旬には6~7 m に多く分布した。

6月29日, S. tenellusのノープリウスと初期コペポダイ トは表面から6 mにかけて増加し, 6 mでノープリウスは 2.6×10⁴ 個体/m³, 初期コペポダイトは2.2×10⁴ 個体/m³と なった。後期コペポダイトも表面から深度とともに増加 し, 4 mで2.1×10⁴ 個体/m³となった。成体も後期コペポダ イト同様に2~4 mにかけて6.5~8.0×10⁴ 個体/m³となり4 mで分布量は最大となった。7月18日にはノープリウスは $0\sim2$ mにかけて $0.5\sim1.8\times10^4$ 個体/m³であったが, それ以 深は深度とともに減少した。初期コペポダイトおよび後 期コペポダイトは個体数を減じ、ほぼ水柱一様に分布し た。成体は、2~6 mにかけて多く分布し、6月同様、4 mで 3.9×10⁴個体/m³と最大となった。7月27日には、ノープリ ウスは0~2 m, 初期コペポダイトおよび後期コペポダイ トも4 m以深に多い傾向があった。成体は0~2 mまでは 約1.0×10⁴ 個体/m³以下であったが、4~7 mにかけて急激 に増加し, 特に7 mでは8.5×10⁴ 個体/m³の最高密度に達 した。8月7日, ノープリウスは0~2 m, 初期コペポダイト は2 mで比較的多かった。後期コペポダイトは4 m以深に かけて増加し, 6 mで0.5×10⁴ 個体/m³となった。成体は0 ~2 mまではほぼ1.0×10⁴ 個体/m³以下であったが, 4 m以 深で急激に増加し,6~7 mにかけて約10.0×10⁴ 個体/m³ と顕著に増加した。8月28日、ノープリウスは再び増加し、 表面で多くそれ以深では徐々に減少した。初期コペポダ イトおよび後期コペポダイトは4 m以深で多く, それぞ れ, 4 mで1.5×10⁴ 個体/m³, 6 mで0.6×10⁴ 個体/m³と最も 多かった。成体の個体数密度は大きく減少し、4 mで1.0× 10^4 個体/ m^3 となった。9月13日,ノープリウスは表面で 6.1×10⁴ 個体/m³と周年で最も多く, 4 m以深で減少した。 初期コペポダイトおよび後期コペポダイトは4 m以深で 増加し、初期コペポダイトは6 mで、後期コペポダイトは 7 mで増加した。10月19日にはノープリウスは4 mで若干 多かったが、ほぼ一様に分布した。初期コペポダイトと 後期コペポダイトは4 m以深で個体数が増加し,水深4~6 mで, 初期コペポダイトは1.7~2.2×104個体/m³, 後期コ ペポダイトは0.4~0.7×10⁴個体/m³であった。成体も4~ 6 mで若干多かったものの、ほぼ一様に分布した。11月15 日には、ノープリウスは低密度でほぼ水柱一様に分布し た。同様に、初期および後期コペポダイトも4 m以深で若 干個体数は多かったものの、ほぼ水柱一様に分布した。 成体は4 mで2.3×104個体/m³, それ以深でも約1.9×104個 体/m³の密度で分布した。このように、調査期間を通じ てS. tenellusのノープリウスは6月29日に6 mに多く分布 した以外は、ほぼ0~4mに分布した。ノープリウス以外 は、より深層に分布する傾向があった。 すなわち、初期コ ペポダイトおよび後期コペポダイトはともに6月以外, それぞれ2~4 m以深および4 m以深に多く分布した。成 体は6月には4 mに多かったが、それ以外は後期コペポダ イト同様に4 m以深に多く, 特に7月27日と8月7日には6 ~7 mに濃密に分布した。

察 考

本研究で鉛直分布を詳しく観察した枝角類2種は夏季. 7月下旬から増加し始め8月上旬に最高密度となり、その 後, B. longirostrisは徐々に, D. brachyurumは急激に減少し た。そして、この増加時期には水深6~7 mに濃密に分布 した。両種ともにこの最大密度の分布層は塩淡境界層の 6~7 mに一致した。元田・石田(1949) は網走湖の湖心 において、各層2 m間隔で水深14 mまで、これら2種の鉛 直分布を6~11月まで観察している。示されている図表を 見ると,この時の塩淡境界層(ここでは変水層と呼んで いる) は8~10 mであり, 8 m以深で急激に塩素量が増加 していた。7~9月の水温は0~8 mで概ね20~25 ℃の範囲 にあった。B. longirostrisは7月に最も多く、その最大の分 布水深は6 mにあった。D. brachyurumは7~8月にかけて 増加し, その分布水深は7月には4 m, 8月には8 mであっ た。これらの結果と今回の観察結果を比較すると, B. longirosrtrisは必ずしも本研究で見られたようにその増 加時期には塩淡境界層には分布していない。また, D. brachyurum についても,8月には塩淡境界層に最高密度 があったが、7月にはそれ以浅の4 mに極大があった。こ れらのことから今回の結果では、枝角類はその増加時期 に塩淡境界層に分布するという特徴がより顕著に観察さ れた。

本研究でS. tenellus については、発育段階毎の鉛直分布 は異なっており、ノープリウスは表層あるいは水柱一様 に分布する傾向があったが、6月のみノープリウスが6 m に多く分布した。この時, 成体の分布は4 mに極大があっ た。S. tenellusは同種のノープリウス幼生を摂食する共食 いの習性が飼育下で知られている (Hada 1991)。ノープ リウスが6 mに分布したのは,同種間で共食いを避ける行 動を示唆しているのかもしれない。成体を含みコペポダ イトは概して、より深層に分布する傾向があった。成体 は7月下旬(7月27日)から8月上旬(8月7日)には枝角類 同様に,6~7 mの塩淡境界層に濃密に分布した。元田・ 石田(1949)によれば、ノープリウス幼生は観察してい なかったが、コペポダイトも成体も概ね4 m以深に多く、 特に成体は変水層(塩淡境界層)(8~10 m)に多く分布 する傾向があったことを報告している。これらのことか ら、本研究で観察したS. tenellusの日中の鉛直分布の特徴 は当時と変わらないものと考えられる。

本研究で観察された最大の特徴は、7月下旬から8月上

旬にかけてB. longirostris, D. brachyurum およびS. tenellus の成体が顕著に塩淡境界層に分布したことである。元田・ 石田 (1949) はS. tenellusが変水層に多いのは有機物の蓄 積が多く、これを利用しているとの考えを示唆している が, 本研究のクロロフィルa量の結果では少なくとも植物 プランクトンは多くない。また, 透明度から推定して塩淡 境界層には光はほとんど届いていないものと推察される。

甲殻類プランクトン3種が塩淡境界層に濃密に分布し た7月下旬から8月上旬にかけては表層から約4mまでは 約20 ℃以上の水温があり、6~7 mでは約16~<20 ℃で あった。これら3種は表層の高水温環境を避けたことも考 えられる。Hanazato and Yasuno (1985) は、B. longirosris とD. brachyurumを含む数種のミジンコ類を実験室内で 15~30 ℃ の5 ℃ 間隔で飼育した結果, D. brachyurumは 30 ℃でよく成長し, B. longirosris は30 ℃では成長しなか ったが、それ以下の温度では成長したことを報告してい る。網走湖でD. brachyurumは水温20℃以上で大増殖した ことも観察されている (浅見1997)。また, 水温5~30℃ の間の6段階の水温でのS. tenellus の成長速度はノープリ ウスもコペポダイトも水温の上昇とともに指数関数的に 上昇することが知られている (Kimoto et al. 1986)。これ らのことから、より低水温がこれらの種を塩淡境界層に 分布させたことは考えにくい。

ところで, 元田・石田(1950)は, 網走湖の呼人湾の水 深7 mの地点で、1974年8月24日午前5時から25日午前5時 の一昼夜にわたり, 1時間おきに水深0, 1, 2, 4, 6 mの各層 からプランクトン定量採集器でプランクトンを採集し、 B. longirostris, D. brachyurum, S. tenellusの日周鉛直移動を 調べた。その結果、3種ともに朝方に6 mまで最も著しく 下降し,また,午後は午前よりも分布層が浅くなった。夕 刻暗くなったときには急激に上昇して夜間は水柱均等に 分布した。そして, 夜間の各種の採集量は日中のそれら よりも極めて多かったので、日中は採集を行わなかった 湖底直上に分布していると考えた。そして,この日周鉛 直移動の要因として, 光の刺激が関係し, 朝方に光の刺 激を受けるとこれを逃れ、夕刻、光の刺激から解放され ると負の走地性を生じ, 夜間になり暗黒が続くと走地性 が消失して重力に無関係の分布をすると考察している。 光環境は動物プランクトンの日周鉛直移動のタイミング に影響する最も重要な環境要因として考えられている (斎藤 2002)。今回観察した塩淡境界層での3種の濃密な 分布は光環境が関与しているかもしれないが、 今後は 日夜を通した観測が必要である。

さらに, 石田 (1951) は, 網走湖呼人湾の水深が2 m前 後の極く浅い水域で、1950年7月11日の午前6時から翌日 の午前5時まで1時間おきに0 mと1 mからプランクトン 定量採集器で動物プランクトンを採集した結果, S. tenellusの成体とコペポダイトは夜間に表面で多く採集され たとしている。そして、その要因を光環境の他、魚などの 捕食者と被捕食者との関係から考察することの必要性を 示唆している。湖沼の甲殻類プランクトンは捕食者から 逃避するために鉛直的に分布水深を変化させることが多 くの研究によって知られている (例えば, Zaret and Suffern 1976)。カナダ, ブリチィッシュコロンビアの湖沼 域に分布する植食性枝角類Bosminaは、視覚捕食者のい ない湖沼では日周鉛直移動を行わないが、視覚捕食者で あるベニザケ稚魚等が表層に分布する環境では日周鉛直 移動を行う(Levy 1990)。網走湖において、これら甲殻類 プランクトンの重要な捕食者はワカサギである。ワカサ ギは春季から夏季にかけて仔魚から稚魚となり, 餌生物 をこれまでの輪虫類から枝角類やカイアシ類の甲殻類プ ランクトンへとシフトさせ, 急激に成長する (浅見 2004)。浅見·伊藤 (2003) は,網走湖においてS. tenellus の個体群動態を調べた結果, 夏季8月以降, 後期コペポダ イトと成体の死亡速度が大きくなることを明らかにし, この要因をワカサギによる捕食と考えた。このことから、 夏季のこれら甲殻類プランクトンの顕著な塩淡境界層で の分布は、ワカサギの捕食から逃避した可能性も考えら れる。元田・石田 (1950) が観察したように,これら3種 は日周鉛直移動を行い, ワカサギは甲殻類プランクトン の浮上や下降のタイミングに遭遇することによってこれ らを捕食しているのかもしれない。

謝 辞

本研究を行うにあたり、調査に御協力をいただいた西 網走漁業協同組合の佐々木昇常務、川尻敏文参事、他職 員の皆様に深く感謝いたします。

引用文献

- 浅見大樹. 網走湖における動物プランクトンの季節変動 および年変動. 北海道立水産孵化場研究報告 1997; 51:31-43.
- 浅見大樹・伊藤和雄. 網走湖におけるカイアシ類 *Sinocalanus tenellus* (Kikuchi)の個体群動態と生産量の見積もり. 日本プランクトン学会報, 2003 50(2): 67-78.
- 浅見大樹. 網走湖産ワカサギの初期生活に関する生態学的研究. 北海道立水産試験場研究報告 2004;67:1-79.

- 浅見大樹. 網走湖における動物プランクトン優占種の出現状況. 北海道水産試験場研究報告 2023;103:1-8. 安楽正照. プランクトン研究ノート (1) 動物プランクトンの微細分布 <研究の歴史>. 海洋と生物 1979;1 (5):66-72,
- Hada A. Effect of cannibalism on the laboratory cultured population of the brackish-water copepod *Sinocalanus* tenellus. Bull. Plankton Soc. Japan. 1991; 38(1): 43–52
- Hanazato T, Yasuno M. Effect of temperature in the laboratory studies on growth, egg development and first parturition of five species of Cladocera. *Jpn. J. Limnol.* 1985; 46: 185–191.
- 石田昭夫. 湖沼甲殻類プランクトンの定量採集と水平 分布についての二三の観察. 水産孵化場試験報告 1951:6:181-190.
- 石田昭夫. 網走湖の研究 浅い湾内での甲殻類プランクトンの昼夜移動の観察. 水産孵化場報告1952;7: 127-131.
- Kimoto K, Uye S, Onbe T. Growth characteristics of a brackish-water calanoid copepod *Sinocalanus tenellus* in relation to temperature and salinity. *Bull. Plankton Soc. Japan.* 1986; 33(1): 43–57.
- Levy, D. A. Reciprocal diel vertical migration behavior in planktivores and zooplankton in British Columbia lakes. *Can. J. Fish. Aquat. Sci.* 1990: 47, 1755–1764.
- 元田茂. 動物プランクトンの生態特に日周鉛直移動の習性について. 日本海洋学会誌 1972; 28, 278-292.
- 元田茂,石田昭夫. 網走湖の研究特にプランクトン層に 就いて(第二報). 水産孵化場試験報告1949;4: 1-9.
- 元田茂,石田昭夫. 夏季網走湖に於ける甲殻類プランクトンの昼夜垂直移動の観察. 水産孵化場試験報告 1950;5:105-112.
- 中尾欽四郎. 網走湖の湖環境変遷. 北海道の自然 1984;24:30-40.
- 大槻知寛, 多田匡秀. 網走湖の環境について. 北水試だより1984;23:1-8.
- 斎藤宏明. 特集 海産生物の行動と周期性 動物プランクトンの日周鉛直移動の適応意義 海洋と生物 2002;143 (vol. 24 no. 6): 499-504.
- 鳥澤雅. 網走湖産ワカサギの生活史多型分岐と資源変動機構. 北海道立水産試験場研究報告 1999;56:1-117.
- Zaret TM, Suffern JS. Vertical migration in zooplankton as a predator avoidance mechanism. *Limnol. Oceanogr.* 1976; 21:804-813.

Appendix 1 Seasonal and vertical values of water temperature, salinity, dissolved oxygen and chlorophyll a concentration at St. 9 from June to November 2017

W.T. (°C)

Depth (m)	June 29	July 18	July 27	Aug. 7	Aug. 28	Sep. 13	Oct 19	Nov. 15
0	19.2	22.4	24.3	22.9	22.6	19.4	11.5	6.5
2	17.4	22.3	22.9	22.8	22.0	19.4	11.4	6.5
4	16.3	21.6	22.5	22.5	21.9	19.3	11.3	6.5
6	15.1	17.4	19.2	20.1	19.8	19.1	11.3	6.5
7	15.1	14.8	16.1	17.0	16.7	17.0	14.1	6.5
8	9.5	10.3	12.4	12.2	12.3	12.3	12.4	9.9

Salinity

Depth (m)	June 29	July 18	July 27	Aug. 7	Aug. 28	Sep. 13	Oct 19	Nov. 15
0	0.8	0.6	0.7	0.7	0.8	1.1	1.2	1.6
2	0.9	0.6	0.7	0.6	0.8	1.1	1.2	1.6
4	8.0	0.7	0.7	0.7	0.8	1.1	1.2	1.6
6	0.7	1.3	1.6	1.3	3.7	1.2	1.2	1.6
7	5.9	11.1	12.9	7.3	14.3	13.1	14.8	1.6
8	17.3	17.1	16.9	17.1	17.6	17.7	17.7	16.8

DO (mg/L)

Depth (m)	June 29	July 18	July 27	Aug. 7	Aug. 28	Sep. 13	Oct 19	Nov. 15
0	12.3	9.1	15.9	8.3	12.2	9.2	12.3	12.4
2	12.3	8.8	14.4	9.3	10.9	9.2	12.3	12.4
4	9.9	8.6	11.8	8.3	9.9	9.0	12.1	12.4
6	9.0	6.4	8.2	2.5	7.1	8.9	11.9	12.4
7	7.5	3.1	3.8	0.3	1.5	5.1	8.0	12.3
8	2.0	0.9	1.4	0.0	0.4	1.7	2.3	8.9

Chl.a (µg/L)

Depth (m)	June 29	July 18	July 27	Aug. 7	Aug. 28	Sep. 13	Oct 19	Nov. 15
0	29.6	41.8	177.0	No data	101.0	32.2	40.3	21.3
2	14.3	39.4	109.0	NO data	92.3	32.8	45.3	27.8
4	18.3	44.3	70.1	NO data	61.7	30.9	48.8	20.7
6	13.9	29.6	28.6	NO data	47.3	29.1	49.5	21.7
7	12.6	10.6	26.6	NO data	31.7	31.8	39.5	21.6

Appendix 2 Seasonal and vertical abundance of *Bosmina longirostris* and *Diaphanosoma brachyurum* at St. 9 from June to November 2017

Bosmina longirostris (×10⁴ inds./m³)

Depth (m)	June 29	July 18	July 27	Aug. 7	Aug. 28	Sep. 13	Oct 19	Nov. 15
0	0.02	0.68	0.12	4.34	0.09	1.93	0.43	0.17
2	0.04	0.94	0.40	3.21	0.02	1.97	0.45	0.16
4	0.02	1.10	2.31	5.91	0.84	1.94	0.59	0.17
6	0.02	0.70	5.06	7.78	1.76	2.07	0.40	0.11
7	0.06	0.30	3.38	5.32	1.14	4.84	0.41	0.19

Diaphanospma brachyurum (×10⁴ inds./m³)

Depth (m)	June 29	July 18	July 27	Aug. 7	Aug. 28	Sep. 13	Oct 19	Nov. 15
0	0.00	0.02	0.02	0.57	0.00	0.01	0.00	0.00
2	0.00	0.08	0.37	2.89	0.00	0.03	0.00	0.00
4	0.02	0.16	1.51	3.93	0.00	0.08	0.00	0.00
6	0.00	0.12	4.04	9.18	0.02	0.06	0.00	0.00
7	0.02	0.04	4.58	5.38	0.00	0.18	0.00	0.00

Appendix 3 Seasonal and vertical abundance of nauplii, C1-3 copepodites, C4-5 copepodites and C6 (adults) at St. 9 from June to November 2017

Sinocalanus tenellus nauplii (×10⁴ inds./m³)

Depth (m)	June 29	July 18	July 27	Aug. 7	Aug. 28	Sep. 13	Oct 19	Nov. 15
0	0.54	1.80	1.65	0.30	2.47	6.05	1.51	0.01
2	0.74	0.50	1.37	0.13	1.54	5.77	1.53	0.03
4	1.70	0.14	0.42	0.01	1.72	5.98	2.30	0.04
6	2.60	0.12	0.04	0.04	0.40	4.57	1.48	0.04
7	0.68	0.02	0.07	0.00	0.16	2.39	0.93	0.05

S. tenellus copepodite C1-3 ($\times 10^4$ inds./m³)

Depth (m)	June 29	July 18	July 27	Aug. 7	Aug. 28	Sep. 13	Oct 19	Nov. 15
0	0.00	0.04	0.13	0.01	0.06	0.53	0.13	0.27
2	0.04	0.12	0.21	0.42	0.27	0.81	0.26	0.31
4	1.28	0.30	0.61	0.24	1.50	1.35	1.66	0.43
6	2.20	0.12	0.31	0.20	0.76	1.69	2.24	0.29
7	1.08	0.00	0.32	0.04	0.56	1.32	1.68	0.43

S. tenellus copepodite C4-5 ($\times 10^4$ inds./m³)

Depth (m)	June 29	July 18	July 27	Aug. 7	Aug. 28	Sep. 13	Oct 19	Nov. 15
0	0.00	0.00	0.06	0.02	0.00	0.02	0.01	0.12
2	0.34	0.02	0.08	0.28	0.00	0.07	0.02	0.13
4	2.10	0.18	0.43	0.35	0.40	0.19	0.70	0.28
6	0.76	0.12	0.36	0.54	0.64	0.42	0.74	0.16
7	0.44	0.18	0.31	0.28	0.44	0.64	0.42	0.22

S. tenellus C6 (\times 10⁴ inds./m³)

Depth (m)	June 29	July 18	July 27	Aug. 7	Aug. 28	Sep. 13	Oct 19	Nov. 15
0	0.05	0.02	0.94	0.00	0.00	0.00	0.01	0.20
2	6.54	2.04	0.70	0.64	0.02	0.11	0.04	0.33
4	8.02	3.86	4.72	1.42	1.04	1.01	0.81	2.32
6	3.44	2.86	4.93	9.96	0.70	2.14	0.60	1.87
7	0.52	1.16	8.52	10.26	0.78	2.56	0.47	1.93

後志地区で漁獲されるホッケの脂質含量の季節変化および魚体長や肥満度 との関係

板谷和彦*1, 辻 浩司2, 成田正直3, 蛯谷幸司4

Seasonal changes in lipid content of arabesque greenling (*Pleurogrammus azonus*) captured in Shiribeshi area and their relationship with the body length and condition factors

KAZUHIKO ITAYA¹, KOHJI TSUJI², MASANAO NARITA³ and KOHJI EBITANI⁴

Seasonal changes in the lipid content of arabesque greenling (*Pleurogrammus azonus*) captured in Shiribeshi area were examined. Lipid content was higher in males than in females in all months. And lipid content was low in winter, increased in spring, peaked in summer, and then rapidly decreased in females, but remained high in males until October. In addition, lipid content was correlated with the condition factor, and it was thought that the lipid decreased as maturation progressed. Lipid content of large fish (body length more than 320 mm) that thought to be more than 3 years old tend to be lower than that of smaller ones. Therefore, to catch high-lipid fish, it is important to target aged-one or -two fish from May to July for females and from May to October for males.

キーワード:季節変化、脂質、雌雄差、体長、肥満度、ホッケ

北海道周辺のオホーツク海から道央日本海にかけて分布するホッケ (Pleurogrammus azonus) の道北群の漁獲量は、1985年の3.7万トンから増加して1998年には20万トンに達した (Fig.1)。その後の漁獲量は、2008年までは10万トン以上を維持してきたが、2009年以降大きく減少し2015年には1.6万トンにまで低下した。2020年時点では3.0万トンとやや回復している。これは2012年の秋から北海道が取り組んできた資源管理の効果とされている(森田ら、2021;板谷ら、2021)。

水揚げ金額は1990年以降長期間にわたり40億円前後で推移し、漁獲量が20.6万トンと最高値となった1998年においても49億円に留まっている。その後、漁獲量は減少するが水揚げ金額の変動は小さく40億円前後を維持し、

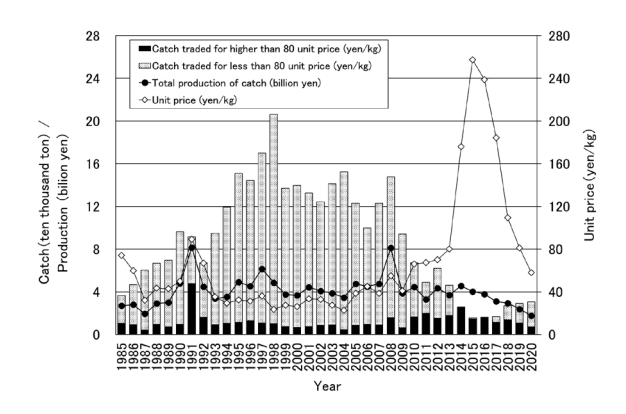


Fig. 1 Catch of arabesque greenling (*Pleurogrammus azonus*) in the Sea of Japan and Sea of Okhotsk divided by traded values (higher or less than 80 yen/kg), production of catch and average unit price.

¹北海道立総合研究機構函館水産試験場,2北海道立総合研究機構中央水産試験場。

³国立研究開発法人産業技術総合研究所,元北海道立総合研究機構中央水産試験場

⁴北海道立総合研究機構釧路水産試験場

¹ Hakodate Fisheries Research Institute, Hokkaido Research Organization, *Hakodate, Hokkaido 040-0051*

² Central Fisheries Research Institute, Hokkaido Research Organization, Yoichi, Hokkaido, 046-8555

³ National Institute of Advanced Industrial Science and Technology, Koriyama, Fukushima, 963-0298

⁴ Kushiro Fisheries Research Institute, Hokkaido Research Organization, Kushiro, Hokkaido, 085-0027, Japan

漁獲量が1.6万トンと1998年の10分の1以下にまで減少し た2015年でも40億円であった。

漁獲量を取り扱い単価別にみると、80円/kg以上で取 引された数量は1991年を除けばどの年も1万トン前後で 推移し,漁獲量が多かった時代はそのほとんどが80円/kg 以下で取り扱われていた。単価80円/kg以下で取引された 漁獲物の大部分はすり身原料として加工市場に供給され, この背景には200海里排他的経済水域設定によるスケト ウダラ漁獲の減少が影響したと考えられている(廣吉・ 甫喜本, 2008)。

2010年以降は漁獲量の減少にともない単価80円/kg以 下で取引された数量は減少し、2014年にはついに皆無と なった。漁獲量全体の平均単価は2010年以降上昇し、2015 年には257円/kgと高騰し、ホッケを扱う加工業界では原 材料確保の面では苦難を強いられたと考えられる。その 後の平均単価は2016-2019年の4年間で239円/kgから81円 /kgに急落した。一方, 2020年の漁獲量は2015年の2倍に まで回復したが,平均単価は58円/kgに留まり水揚げ金額 は減少した。近年の平均単価が下落した理由として、漁 獲量が激減し単価が急騰した2014-2017年の間に、ホッケ に対する需要が低下してしまった可能性がある。このこ とは、北海道のホッケ資源の管理や漁業の将来計画を策 定する上で、需要喚起や流通を支える対策も重要である ことを示している。

ホッケのすり身以外の加工品として開き干しがあるが, 北海道産ホッケに代わりキタノホッケ(シマホッケ)が アラスカやロシアから輸入され加工品原料として席巻し てきた (廣吉・甫喜本, 2008)。 キタノホッケは現地でド レス加工された上で冷凍原料として輸入される。この流 通形態は国内における生鮮流通より供給量が安定するた め、キタノホッケは加工原料としての優位性が高い。こ れに対し、北海道産のホッケは様々な地区、漁法、季節

Table 1 Lipid content, body length, sampling date, and number of female arabesque greenling (Pleurogrammus azonus) collected in sampling areas and fishing gears

Sampling	Sampling	Fishing	Female	Body	length(mm)	L	ipid co	ntent(%)	
date	area	gear	Number	Min	Max	Mean	Min	Max	Mean	SD
2019/4/1	Otaru	Danish Seine	10	275 -	375	311	1.3 -	5.1	2.4	1.1
2019/4/4	Shimamaki	Bottom setnet	4	279 -	284	282	2.0 -	4.8	3.7	1.1
2019/5/15	Otaru	Danish Seine	8	281 -	313	294	3.0 -	10.0	6.2	2.2
2019/5/16	Iwanai	Bottom setnet	16	212 -	312	257	1.4 -	10.0	6.4	2.5
2019/5/27	Furubira	Gill net	8	297 -	322	306	5.3 -	12.6	7.8	2.3
2019/7/11	Shakotan	Gill net	24	270 -	339	304	3.8 -	11.0	7.4	1.9
2019/10/7	Furubira	Gill net	24	285 -	351	309	1.0 -	8.1	4.2	1.7
2019/10/17	Otaru	Danish Seine	8	286 -	320	302	0.3 -	4.3	2.3	1.2
2019/11/22	Suttsu	Bottom setnet	8	275 -	308	295	0.5 -	6.5	1.8	1.9
2019/11/26	Otaru	Danish Seine	16	186 -	347	252	0.0 -	6.9	1.7	1.7
2020/1/13	Otaru	Danish Seine	16	192 -	341	250	0.2 -	3.4	1.2	1.0
2020/2/13	Iwanai	Gill net	8	270 -	326	303	0.1 -	2.5	1.3	0.8
2020/2/26	Otaru	Danish Seine	8	282 -	306	298	0.0 -	2.1	0.7	0.7
2020/3/26	Suttsu	Bottom setnet	8	256 -	310	286	0.4 -	5.0	3.1	1.4
2020/5/7	Otaru	Danish Seine	16	196 -	366	270	1.9 -	9.7	5.4	2.3
2020/5/15	Shimamaki	Bottom setnet	8	301 -	336	314	0.2 -	6.3	3.8	1.7
2020/5/28	Furubira	Gill net	16	313 -	350	327	2.5 -	9.9	6.8	2.2
2020/6/8	Yoichi	Gill net	16	282 -	345	317	2.8 -	8.9	5.6	2.2
2020/6/23	Yoichi	Gill net	16	293 -	331	318	3.1 -	9.1	5.8	1.5
2020/7/9	Yoichi	Gill net	24	290 -	334	311	3.9 -	8.9	6.4	1.3
2020/7/20	Yoichi	Gill net	16	301 -	344	318	2.8 -	7.5	5.2	1.2
2020/8/4	Yoichi	Gill net	16	307 -	336	320	2.5 -	8.2	5.1	1.6
2020/8/19	Yoichi	Gill net	16	294 -	349	319	2.6 -	10.5	5.9	2.0
2020/9/1	Yoichi	Gill net	16	296 -	356	321	1.6 -	7.4	4.9	1.7
2020/9/16	Yoichi	Gill net	16	306 -	341	321	1.3 -	5.8	3.9	1.4
2020/9/17	Otaru	Danish Seine	8	307 -	334	322	2.5 -	10.3	6.1	2.9
2020/10/1	Yoichi	Gill net	16	303 -	351	318	0.6 -	9.1	3.2	1.8
2020/10/13	Yoichi	Gill net	16	305 -	347	321	0.7 -	4.0	2.5	1.0
2020/10/20	Otaru	Danish Seine	8	301 -	335	314	0.4 -	3.2	2.0	0.8
2020/11/3	Yoichi	Gill net	16	310 -	341	323	0.2 -	4.6	1.8	1.2
2020/11/12	Suttsu	Bottom setnet	8	298 -	324	315	0.7 -	5.1	2.1	1.3
2020/11/19	Shimamaki	Bottom setnet	8	290 -	325	307	0.2 -	2.3	1.4	0.7
2020/12/9	Suttsu	Bottom setnet	8	283 -	328	308	0.1 -	1.5	0.6	0.4
		Total	430	186 -	375	305	0.0	12.6	4.3	2.7

Table 2 Lipid content, body length, sampling date, and number of male arabesque greenling (Pleurogrammus azonus) collected in sampling areas and fishing gears

Sampling	Sampling	Fishing	Male	Body	length(mm)	I	ipid c	ontent(%))
date	area	gear	Number	Min	Max	Mean	Min	Max	Mean	SD
2019/4/1	Otaru	Danish Seine	8	275 -	348	309	0.4 -	12.0	4.4	3.4
2019/4/4	Shimamaki	Bottom setnet	4	266 -	286	274	2.5 -	6.4	4.0	1.5
2019/5/15	Otaru	Danish Seine	8	268 -	301	285	2.4 -	11.9	8.0	2.5
2019/5/16	Iwanai	Bottom setnet	16	209 -	295	255	1.5 -	10.4	6.0	2.3
2019/5/27	Furubira	Gill net	8	291 -	322	299	5.5 -	13.7	9.8	2.9
2019/7/11	Shakotan	Gill net	24	268 -	323	295	5.6 -	12.7	9.2	1.8
2019/10/7	Furubira	Gill net	26	272 -	316	293	4.9 -	12.0	7.5	2.0
2019/10/17	Otaru	Danish Seine	8	278 -	296	285	2.4 -	7.5	5.1	1.4
2019/11/22	Suttsu	Bottom setnet	8	256 -	284	271	0.4 -	6.4	3.0	1.7
2019/11/26	Otaru	Danish Seine	16	181 -	296	245	0.9 -	11.5	5.0	3.1
2020/1/13	Otaru	Danish Seine	16	180 -	302	235	0.6 -	7.7	3.0	2.1
2020/2/13	Iwanai	Gill net	8	273 -	312	297	0.4 -	5.6	2.2	1.5
2020/2/26	Otaru	Danish Seine	8	265 -	301	281	0.3 -	9.3	4.6	2.7
2020/3/26	Suttsu	Bottom setnet	8	265 -	305	283	1.6 -	9.7	4.9	2.9
2020/5/7	Otaru	Danish Seine	16	209 -	316	260	2.8 -	10.1	6.2	1.5
2020/5/15	Shimamaki	Bottom setnet	8	291 -	325	312	0.4 -	10.6	5.8	3.5
2020/5/28	Furubira	Gill net	9	290 -	315	306	6.7 -	13.1	10.5	1.7
2020/6/8	Yoichi	Gill net	16	285 -	326	304	5.6 -	11.0	8.6	2.2
2020/6/23	Yoichi	Gill net	16	291 -	326	308	3.6 -	11.1	7.7	2.1
2020/7/9	Yoichi	Gill net	24	282 -	320	300	3.1 -	13.0	8.7	2.5
2020/7/20	Yoichi	Gill net	16	294 -	326	310	6.1 -	11.3	8.9	1.5
2020/8/4	Yoichi	Gill net	16	296 -	323	308	4.3 -	12.9	8.6	2.4
2020/8/19	Yoichi	Gill net	16	291 -	331	311	4.1 -	12.4	7.4	2.3
2020/9/1	Yoichi	Gill net	16	291 -	333	309	4.4 -	13.5	8.4	2.2
2020/9/16	Yoichi	Gill net	16	292 -	337	307	3.4 -	9.9	7.0	2.1
2020/9/17	Otaru	Danish Seine	8	293 -	312	302	2.5 -	12.4	7.1	2.6
2020/10/1	Yoichi	Gill net	16	291 -	331	310	1.3 -	8.5	4.8	2.1
2020/10/13	Yoichi	Gill net	16	294 -	332	312	3.8 -	11.4	7.2	1.9
2020/10/20	Otaru	Danish Seine	8	261 -	298	282	0.7 -	4.4	2.5	1.3
2020/11/3	Yoichi	Gill net	2	290 -	302	296	2.1 -	3.6	2.9	0.8
2020/11/12	Suttsu	Bottom setnet	8	271 -	306	292	1.1 -	6.2	3.0	1.5
2020/11/19	Shimamaki	Bottom setnet	8	260 -	291	279	2.2 -	6.0	3.8	1.1
2020/12/9	Suttsu	Bottom setnet	8	281 -	302	289	0.7 -	3.2	1.3	0.8
		Total	409	180 -	348	291	0.3	13.7	6.5	3.1

において漁獲され、各産地市場を通じて主に鮮魚で流通 するため、キタノホッケより流通量が安定しない。また、 年間を通じて漁獲されることで季節による肉質の変化と いう面でもキタノホッケよりも品質の安定性に劣ると考 えられる。しかしながら、北海道産のホッケは水揚げ地 区によっては知名度が高く(辻, 2005), 高単価を保った まま全国展開できると考えられる。

ホッケー夜干しの美味しさを決める最も強い要因とし て宮崎ら (2014) は官能評価試験から脂の乗りを挙げて おり、加工業界の現場からは脂の乗ったホッケの安定供 給が求められている。これまで、日本海におけるホッケ の季節による成分変化についての報告はあるが (小野塚, 1980), 月ごとの標本数が少なく魚体サイズが季節により 大きく異なるため、魚体サイズと成分との関係は分析さ れていない。また、40年以上を経過した知見であり、現

在までの海洋環境や資源状態の変化により栄養蓄積や産 卵期が変化していることも想定されるため、新たに調べ る必要がある。

そこで本研究では、漁獲の主産地のひとつである後志 地区で漁獲されたホッケについて、様々な時期やサイズ の脂質含量を調べ、脂質含量が雌雄、体長、肥満度およ び成熟状態とどのように関係しているのかを明らかにし, 加工向け原料としての利用拡大を目指した漁業再編のた めの検討資料とすることを目的とした。

試料及び方法

脂質分析には、2019年4月から2020年12月にかけて後志 管内で沖合底びき網(小樽地区),刺し網(余市地区,古 平地区, 積丹地区), 底建網(岩内地区, 寿都地区, 島牧 地区)により漁獲されたホッケを標本とした(Table 1. 2)。これらの内訳は, 雌430個体, 雄409個体であった。毎 月1回程度の標本調査を基本とし, 脂質含量上昇のピーク の詳細を把握するために、2020年には5-11月には月に2回 の頻度で実施した。漁獲日もしくは翌日に生鮮状態で魚 体測定した。測定項目は体重 (g), 体長 (mm), 生殖腺 重量 (g), および内臓除去重量 (g) とした。魚体測定後 に各銘柄から雌雄各8個体を抽出し、各々を脂質含量の測 定に用いた。脂質含量は魚体背側の可食部より試料を採 取し、ソックスレー抽出器(前田、1975)により測定し た。すなわち、採取した試料に無水硫酸ナトリウムを加 えて脱水した後、これを円筒ろ紙に充填しソックスレー 抽出器に挿入してジエチルエーテルにより脂質を抽出・ 回収した。

脂質含量について肥満度との関係を雌雄別に分析した。 魚体の肥満度CFは、摂餌した胃内容物重量や生殖腺重量 の影響を受けないように、内臓を除去した体重EBWと体 長BLをもとに下記の式で計算した。

$$CF = EBW/BL^3 \tag{1}$$

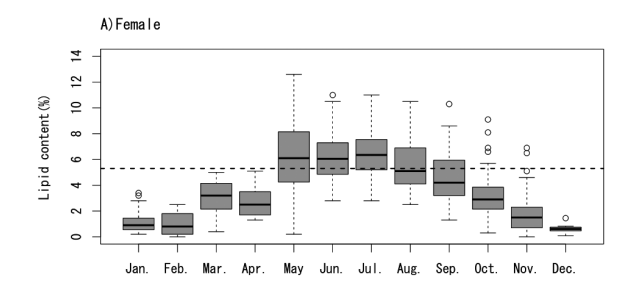
成熟状態と脂質含量の関係をみるために、生殖腺の発 達状況を確認した。魚類では一般的に生殖腺発達状況や 生殖周期をみるための熟度指数として、生殖腺重量GW を内臓除去重量EBWで除した生殖腺指数GSIが用いられ る (隆島・羽生、1989)。本研究でも同様に下記の式で GSIを求めた。

$$GSI = GW/EBW \tag{2}$$

果 結

脂質含量および肥満度の月別変化 脂質含量の月別変化 を雌雄別にFig.2に示した。脂質含量は雌では0.0-12.6%, 雄では0.3-13.7%の範囲の値となり、雌雄すべての標本の 中央値は5.3%であった。脂質含量を月別に見ると、1月 と2月には雌雄ともに中央値は4%未満と低いが、雄では 変動の範囲が雌よりも広い。3月と4月には雌雄ともに上 昇しはじめ,5月には雌雄ともにそれぞれの中央値は全体 の中央値(5.3%)を超えた。その後、雌雄ともに7月が ピークとなり、雌では8月以降に低下傾向を示したが、雄 では10月まで高い値を維持し11月から大きく低下した。 雌雄とも11月には脂質含量の中央値は4%を下まわるよ うになり、12月には雌が0.6%、雄が0.9%と最も低い値と なった。雌雄で比較すると、全体的に雄のほうが雌より も高い値で推移し、月別の平均値は3月を除いて雄のほう が有意に高かった(t検定, p<0.05)。

肥満度の月別変化をFig.3に示した。肥満度は雌では



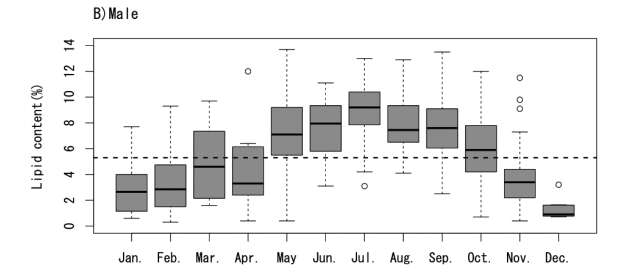
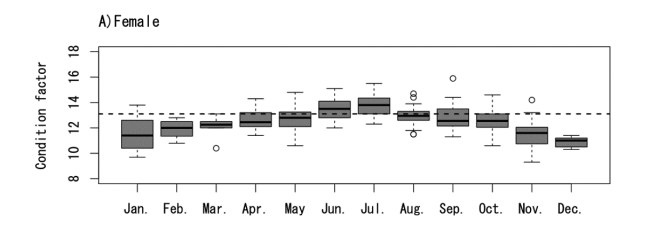


Fig.2 Monthly change of lipid content of arabesque greenling (Pleurogrammus azonus) collected from April 2019 to December 2020. The upper and lower lines of box indicate 75 and 25 % of the data, respectively, and whiskers indicate minimum and maximum points of each group. The bold line in the box shows the median value of the data. Circles indicate outliers. The dotted lines indicate 5.3%, which is the median of all lipid data.



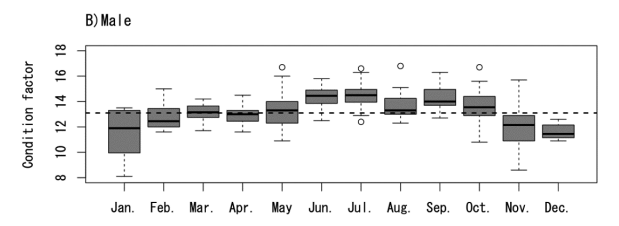
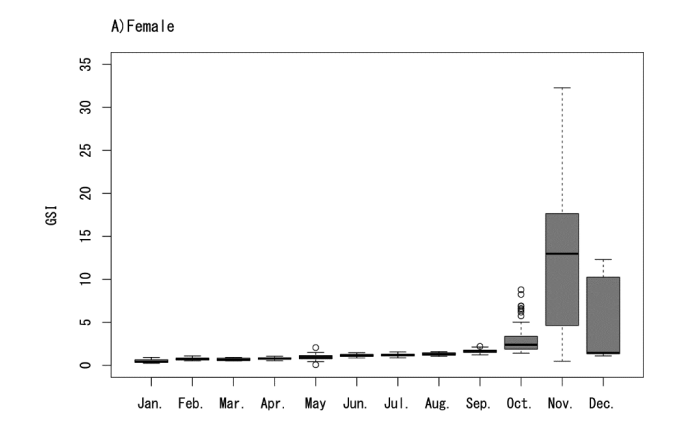


Fig. 3 Monthly change of condition factor of arabesque greenling (Pleurogrammus azonus) collected from April 2019 to December 2020. The upper and lower lines of box indicate 75 and 25 % of the data, respectively, and whiskers indicate minimum and maximum points of each group. The bold line in the box shows the median value of data. Circles indicate outliers. The dotted lines indicate 13.0, which is the median of all condition factor data.

9.3-15.9. 雄では8.1-16.8の範囲の値となり、雌雄込みの すべての標本の中央値は13.1であった。肥満度は、雌よ りも雄が年間を通じて高く、脂質含量と類似した季節変



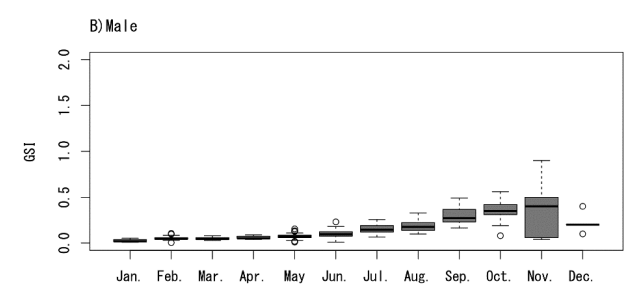


Fig. 4 Gonad somatic indices (GSI) of arabesque greenling (Pleurogrammus azonus) by month. The box indicates 75 and 25 %, and whiskers indicate minimum and maximum points of each group. The bold line in the box shows the median value of the data. Circles indicate outliers.

化を示した。1月と2月の肥満度は雌雄ともに低く、夏に かけて上昇した。雌では7月にピークを示してから徐々に 低下、雄では10月まで高い値を維持したのち低下した。

測定標本の雌雄別の生殖腺指数の推移をFig.4に示し た。生殖腺指数の中央値は雌雄ともに5月までは低い値で あった (雌:1.0, 雄0.1)。雌雄ともに6-9月にかけて緩や かに上昇した後、雌では10月以降急激に上昇し、11月に 中央値がピーク(13.0)に達した。雄では10月以降も緩 やかな上昇を示し、11月に中央値がピーク(0.4)となっ た。

体長と脂質含量との関係 体長と脂質含量との関係につ いて雌雄別に2ヶ月ごとにFig.5に示した。ここで、点の 分布の特徴から体長180-220 mmと260 mm以上の二群が みてとれるが、前者は1-4月では1歳のいわゆる「ローソ クボッケ」と5月以降では「春ボッケ」、11月以降では0歳 にあたる小型群,後者は1-6月では主に2歳以上,7月以降 では1歳および2歳以上にあたる中・大型群に相当する(高 嶋, 2016)。前者の小型群は1-4月には脂質含量が5.3%以 下の個体がほとんどだが、5月以降は上昇し5.3%を超え る個体が現れた。

ここで、開き干しの原料として需要があると考えられ る体長260 mm以上の中·大型群に絞り、年間を通じて雌 雄区別せずに体長と脂質含量との関係をみたところ有意

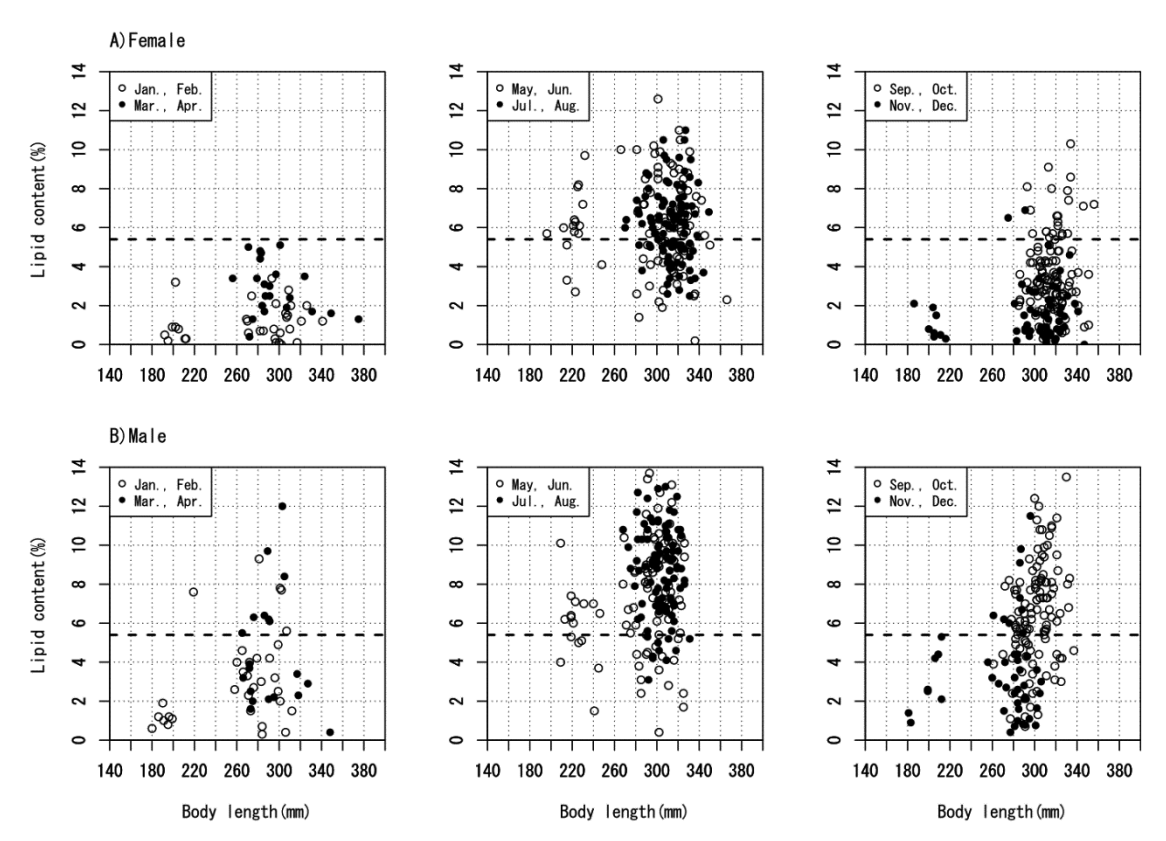


Fig. 5 Relationship between body length and lipid content of arabesque greenling (Pleurogrammus azonus) for each month. The dotted lines indicate 5.3%, which is the median of all lipid data.

な相関はみられなかった (p>0.05)。 Fig. 5のうち,脂質含量が高くなる5-8月に絞り込んでも,体長と脂質含量との有意な相関はみられず,体長300 mm付近で脂質含量が高い個体が多くみえる。そこで,5-8月の標本について体長階級別の脂質含量と,すべての標本の中央値である5.3%を上回る個体数の割合をTable 3にまとめた。体長階級260-290,290-320 mmでの脂質含量は最大値が12.7%,13.7%,平均値が7.3%,7.4%,脂質含量が5.3%を超えた個体の割合は82%,78%となり,他の階級よりも高い値

Table 3 Summary of lipid contents of arabesque greenling (*Pleurogrammus azonus*) and percentage of individuals above the median of lipid content of all samples (5.3%) by length class collected from May to August

Body length class (mm)	Lipid	conten	t (%)	Number for each	Percentage of individuals above 5.3%		
	min	max	mean	<5.3%	5.3%<	40010 3.370	
<200	5.7 -	5.7	5.7		1	100%	
200-230	2.7 -	10.1	6.0	6	17	74%	
230-260	1.5 -	9.7	5.8	3	5	63%	
260-290	1.4 -	12.7	7.3	9	40	82%	
290-320	0.4 -	13.7	7.4	49	172	78%	
320-350	0.2 -	11.0	6.6	30	59	66%	
350<	2.3 -	5.1	3.7	2		0%	

を示した。体長320 mm以上では脂質含量が5.3%を超える個体の割合66%となり、体長350 mm以上では、標本数が2個体と少ないが脂質含量はそれぞれ2.3%と5.1%と低い値となり、5.3%を超えることはなかった。

肥満度と脂質含量との関係 肥満度と脂質含量との関係 について雌雄別にFig.6に示した。雌雄ごとに全期間をま とめた場合、肥満度と脂質含量の間には、それぞれ有意 な正の相関があった(雌:p<0.05, r = 0.60, 雄:p<0.05, r = 0.67)。また、2 月ごとに分けた場合では雄の5-6月 を除いて両者には有意な正の相関がみられた(p<0.05)。2 か月ごとの推移をみると、1月と2月は雌では肥満度が13.1 未満かつ脂質含量が5.3%未満の個体がほとんどだったが、 雄では肥満度が低くても脂質含量が5.3%より高い個体が いくつかみられた。3月以降、雌雄とも肥満度、脂質含量 の双方が増加し、7月と8月では雌に比べて雄では肥満度、 脂質含量ともに高く, ほとんどの個体で肥満度が13.1以上 かつ脂質含量が5.3%以上となった。この後,9月と10月に は、雄に比べて雌では肥満度、脂質含量ともに低くなり、 11月と12月になると雌雄ともにほとんどの個体で1月と2 月と同様に肥満度が13.1以下, 脂質含量が5.3%以下の低 い値となった。しかし、雄では11月と12月においても一 部で高肥満度かつ高脂質含量の個体もみられた。

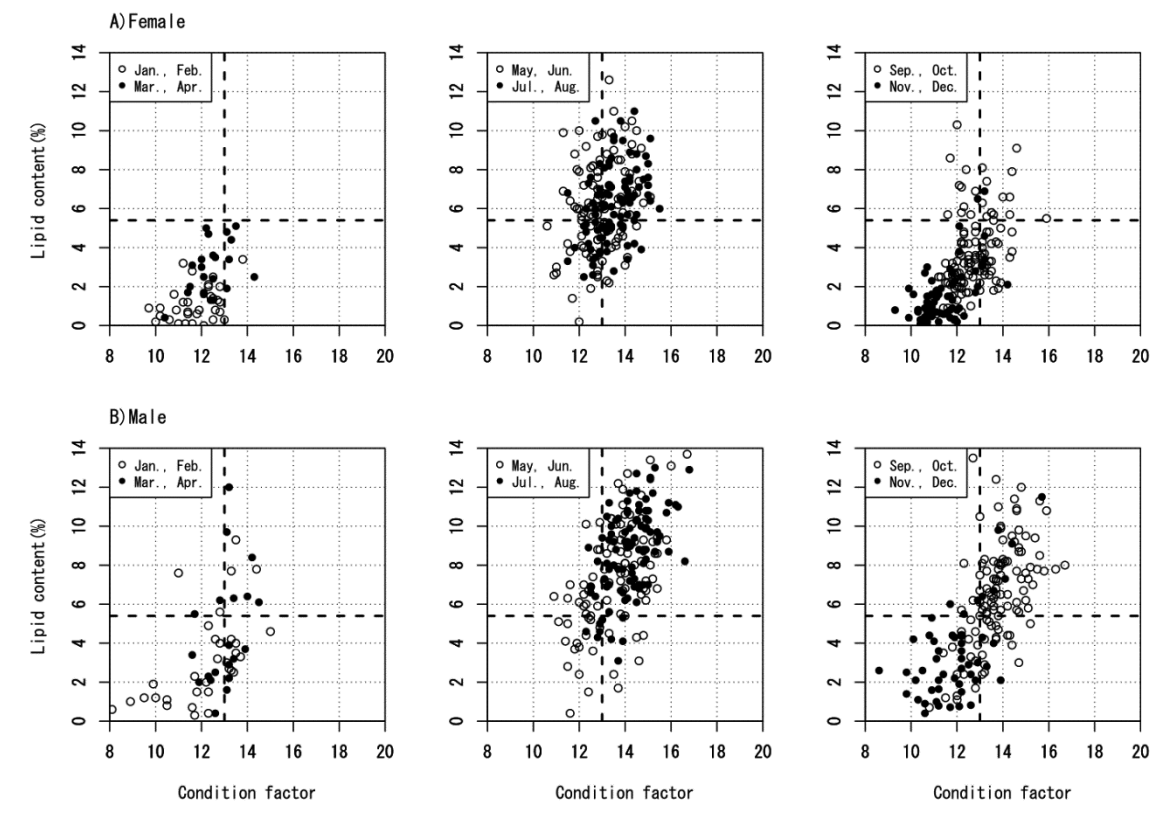
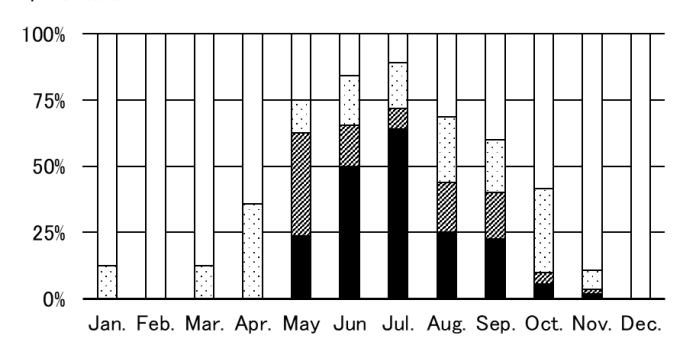
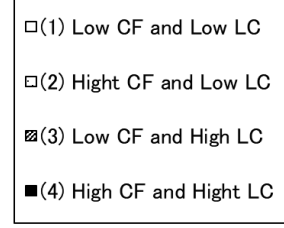


Fig. 6 Relationship between condition factor and lipid content of arabesque greenling (*Pleurogrammus azonus*) for each month. The vertical and the horizontal dotted lines indicate the median of the condition factors and lipid contents, respectively.







B) Male

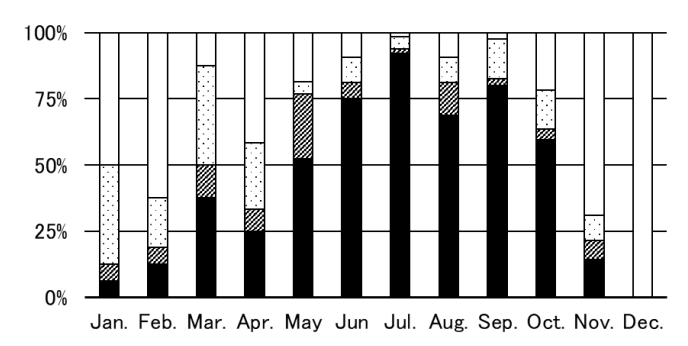


Fig. 7 Monthly changes in category percentages classified by the median of lipid content and condition factor of arabesque greenling (*Pleurogrammus azonus*). Classified into the following four categories, (1) low CF (condition factor) and low LC (lipid content), (2) high CF and low LC, (3) low CF and high LC, (4) high CF and high LC.

Fig.6の散布図について肥満度の中央値13.1と脂質含量の中央値5.3%で4つの象限に区切り,それぞれに分布する個体の割合を雌雄別,月別に集計してFig.7に示した。左下の象限を(1)低肥満度・低脂質,右下を(2)高肥満度・低脂質,左上を(3)低肥満度・高脂質,右上を(4)高肥満度・高脂質とした。

雌では1-4月には (3) と (4) の高脂質の割合は0%であった。(3) と (4) を足し合わせた割合が50%を超えた期間は5月から7月まで3か月間であり、8月には40%以下となり、10月以降は10%に満たないまでに低下した。12月には (4) の個体は見られなかった。

雄では12月を除く周年で(4)の個体は観察され、3月には(4)の個体の割合は25%に達した。5月には(4)の割合は顕著に増加しピークの7月には92%に達した。(3)と(4)を足し合わせた割合が50%となる高脂質の割合が高い期間は6か月間と雌よりも長くなった。12月の分類がすべて(1)となったが、これは12月の標本調査は産卵場近隣での漁獲物だったことが原因と考えられる。

老 変

本研究により、後志管内で漁獲されたホッケの脂質含

量の特徴として、年間を通じて雌よりも雄のほうが高いこと、冬に低く春に上昇、夏の7月にピークとなり、その後は雌ではすぐに低下、雄では10月にかけて維持したのち、11月に低下する明確な雌雄別の季節特性があることがわかった。

脂質含量の月別変化と肥満度や生殖腺指数の推移を見 比べると、雌の生殖腺指数が増加した10月には脂質含量 と肥満度が低下したことから、脂質の季節変化は成熟の 進行に大きく関係していると考えられる。多くの魚類で は成熟の進行にともなって脂質を卵巣に移行することが 知られている(隆島、1974)。ホッケでは8月には卵母細 胞における卵黄形成が開始されるため(Takashima et al., 2016)、この時期から卵巣への栄養分の供給が顕著になる ことで雌の脂質含量が低下しはじめたと考えられる。近 年の後志海域のホッケの産卵期は11月初旬から12月初旬 と観察されており(坂口ら、2022)、雌では産卵期の3ヶ 月前から卵形成にともなって筋肉内の脂質を卵巣に移行 すると考えられる。

一方で、雄では10月まで比較的高い脂質含量を維持していた。これは、ホッケの雄ではGSIは雌に比べて小さく (Fig.4)、精巣の発達に雌ほど栄養分を必要としないと考えられる。その結果、産卵期近くまで脂質の状態で

エネルギーが蓄積され、それらが産卵期のなわばり争い や、生み出された卵を孵化まで護る生態(Munehara and Markevich, 2003) に貢献していると考えられる。ホッケ 仔魚の孵化は近年の道北海域では12月頃から始まり1月 がピークとされている(鈴木ら,2016)。雄は成熟期の脂 質の消費を抑えることで、2か月前後に及ぶ卵保護行動に より消費されるエネルギー源として脂質を利用している のであろう。一方、1月でも雄では脂質含量が6%を超え る個体が確認された。これは、何らかの理由で繁殖行動 に参加しなかった雄については、蓄積した脂質の消費が 相対的に少ないことにより冬でも高い脂質含量を保つた めと考えられる。

5-8月の標本において体長と脂質含量の間に正の相関 が見られず、体長260-320 mmといった中型の魚体で脂質 含量が高くなった。この体長範囲のホッケは年齢と成長 式(高嶋ら、2013)から判断すると2歳を主体に3歳以上 で構成されると考えられる。また、成長式には雌雄差が あり雌のほうが大きくなることから(高嶋ら, 2013),体 長320 mm以上の大型のホッケは3歳以上の雌が主体とみ て良いだろう。したがって、体長320 mm以上の大型のホ ッケで脂質含量が低くなるのは、雌の割合が高くなるこ とも理由のひとつとして挙げられる。

近年、ホッケ資源は低迷し資源回復まではある程度期 間を要することに加え, 資源加入の再生産関係が好転し ない状況では、過去のような若齢主体に大量に漁獲する 漁業形態は資源管理上リスクが非常に高い。したがって, 資源の収益的な有効活用が求められ、これには脂質含量 の高い群を漁獲し高価格で取引されることが重要となる。 開き干し原料向けに脂の乗りの良いホッケを選ぶには, Fig.7やTable 3に示したように、雌雄や体長による脂質 含量の違いを考慮しつつ漁期を絞り込むことが効果的で、 雌では5-7月、雄では5-10月に漁獲することが肝要であ る。8月以降の雄の選別については、ホッケは産卵期が近 くなる夏季以降、雄では明確な婚姻色を呈することから、 婚姻色を指標とした選別も有効と考えられる。

良好な加工原料の条件として一定量の安定供給が重要 だが、脂質含量の低いホッケを含まない品質の安定につ いても要求される (廣吉・甫喜本, 2008)。主に開き干し の加工原料として脂質含量の高いホッケを選択的に活用 して高単価を期待するならば、脂質含量の低い個体を除 外できる出荷形態を検討すべきである。例えば、漁業現 場で簡便に利用できる魚体形状から肥満度を判別する技 術や雌雄選別法が今後必要になってくるであろう。

辞

本研究を行うにあたり、脂質分析および官能評価のデ ータとりまとめに多大なご協力をいただいた中央水産試 験場、連順子研究補助員に深謝します。本研究では、生 物測定調査の一部は水産庁委託「水産資源調査・評価推 進委託事業」の一環として行われた標本を用いた。

引用文献

- 廣吉勝治, 甫喜本憲. 北海道のホッケ生産と加工-産地サ イドからの調査報告と提起. 水産振興 2008;42(9):
- 板谷和彦, 鈴木祐太郎, 秦安史. ホッケ (道央日本海~オ ホーツク海域). 2021年度資源評価書. 北海道周辺に おける主要魚種の資源評価. 北海道立総合研究機構. http://www.fishexp.hro.or.jp/exp/central/kanri/ SigenHyoka/Kokai/
- 前田安彦編著. 初学者のための食品分析法. 1975;46-51. 宫崎亜希子,成田正直,佐藤暁之,清水茂雅,辻 浩司. 道産ホッケの用途に応じた安全・高品質化技術の開 発. 平成26年度道総研網走水産試験場事業報告書 2014; 58-87.
- 森田昌子, 境 磨, 千葉 悟, 濱津友紀, 山下夕帆, 市野 川桃子, 岡村 浩. 令和3年度ホッケ道北系群の資源 評価. 2022;オンライン
- https://abchan.fra.go.jp/digests2021/details/202142.pdf Munehara H, Markevich A. Spawning behavior of Japan Sea Greenling, Pleurogrammus azonus, off the Bol'shoi Pelis Island, Peter the Great Bay, Russia. Bull. Fish. Sci. Hokkaido Univ. 2003; 54(3): 67-72.
- 小野塚馨. 本道日本海海域におけるホッケ肉の特性, 第 1報,漁期による一般成分の変化. 北水試月報 1980; 37, 127-133.
- 坂口健司, 高嶋孝寛, 鈴木祐太郎. 北海道寿都町沿岸の 日本海におけるホッケの産卵期と水温環境. 北海道 水産試験場研究報告 2022;101:1-9.
- 鈴木祐太郎, 城幹昌, 藤岡崇. 北海道沖日本海で採集され たホッケ仔稚魚の成長の年変動と水温の関係。 平成 28年度水產海洋学会大会講演要旨集 2016; P37
- 隆島史夫, 羽生功. 4. 生殖周期とその調節. 「水族繁殖 学」緑書房, 東京. 1989; 103-131.
- 隆島史夫. 8. 成熟と物質代謝. 「水産学シリーズ6魚類の 成熟と産卵(日本水産学会編)」恒星社厚生閣,東京. 1974; 76-87.
- 高嶋孝寛, 星野昇, 板谷和彦, 前田圭司, 宮下和士. 耳石断

面観察によるホッケ道北群の年齢査定法と年齢-サ イズ関係. 日本水産学会誌 2013;79:383-393.

髙嶋孝寛. ホッケ道北群資源の評価手法構築に関する研 究. 博士論文, 北海道大学, 2016.

Takashima T., Okada N., Asami H., Hoshino N., Shida O., Miyashita K. Maturation process and reproductive biology of female Arabesque greenling Pleurogrammus azonus in the Sea of Japan, off the west coast of Hokkaido. Fish. Sci. 2016; 82: 225-240.

辻浩司. ホッケの脂質について. 釧路水試だより 2005; 86:13-15.

網走湖における動物プランクトン優占種の出現状況

浅見大樹

網走湖において動物プランクトンの出現状況を調査した。動物プランクトンは、輪虫類、枝角類およびカイアシ類で構成され、輪虫類は淡水性のBrachionus属2種、Keratella quadrata、Filinia longiseta、 汽水性のK. cruciformis、枝角類は淡水性のBosmina longirostris、Diaphanosoma brachyurum、カイアシ類は汽水性のSinocalanus tenellusが優占した。特に、Brachionus属2種とB. longirostrisの優占が特徴的であり、低塩分環境が関係したと考えられた。

A612 北水試研報 103, 1-8 (2023)

後志地区で漁獲されるホッケの脂質含量の季節変化および魚体長や肥満度との関係

板谷和彦, 辻 浩司, 成田正直, 蛯谷幸司

後志海域のホッケの脂質含量を季節別に調べたところ, 脂質含量はどの月も雌よりも雄で高いことがわかった。 脂質含量は冬に低く,春に上昇し,夏の7月にピークと なり,その後,雌ではすぐに低下するが,雄では10月に かけて高い値を維持し11月に低下した。このように,ホッケの脂質含量には明確な雌雄別の季節特性があること がわかった。また,脂質含量は肥満度と関係しており,夏に向けて脂質を体内に蓄え肥満度が大きくなり,雌で は成熟の進行とともに雄よりも早く脂質含量が低下する と考えられた。脂質含量の高いホッケ原料を得るには,雌では5-7月に,雄では5-10月に漁獲すること,同じ時 期でも肥満度が高い個体を選ぶことが肝要である。 網走湖における甲殻類プランクトン3種の鉛直分布

浅見大樹

網走湖で優占する甲殻類プランクトン3種, 枝角類の Bosmina longirostris, Diaphanosoma brachyurum, およびカイアシ類のSinocalanus tenellusの鉛直分布を湖央地点で調べた。B. longirostrisとD. brachyurumは個体数密度が増加した7月中旬~8月上旬にかけて, 塩淡境界層に濃密に分布した。また, S. tenellusの成体も同時期に塩淡境界層で顕著に個体数密度の極大が観察された。夏季のこの塩淡境界層での甲殻類プランクトンの濃密な分布は, 光環境要因の他にワカサギなどの魚類捕食者からの逃避の可能性も考えられた。

A613 北水試研報 103, 9-17 (2023)

A614 北水試研報 103, 19-27 (2023)

水産研究本部図書出版委員会

委員長 中多 章文

委 員 髙嶋 孝寬 萱場 隆昭 武田 忠明 板谷 和彦

美坂 正 奥村 裕弥 高畠 信一 佐野 稔

楠田 聡

事務局 隼野 寛史 加藤 健司 小宮山健太

水産研究本部出版物編集委員会

委員長 隼野 寛史

委 員 髙嶋 孝寛 山口 浩志 萱場 隆昭 金田 友紀

武田 忠明 渡邉 治 畑山 誠 下田 和孝

楠田 聡 安藤 大成

事務局 加藤 健司 小宮山健太 (作業補助:鈴木 裕)

北海道水產試験場研究報告 第103号

2023年3月3日発行 ISSN:2185-3290

編集兼 北海道立総合研究機構水産研究本部

発行者 〒046-8555 北海道余市郡余市町浜中町238

電話 総合案内 0135(23)7451 (総務部総務課)

図書案内 0135(23)8705 (企画調整部企画課)

FAX 0135(23)3141

Hamanaka-cho 238, Yoichi-cho, Hokkaido 046-8555, Japan

印刷所 株式会社 総北海 札幌支社

〒065-0021 札幌市東区北21条東1丁目4番6号

電話 011(731)9500